



## Research Article

OPEN ACCESS

## Kharazmi Journal of Earth Sciences

Journal homepage <https://gnf.knu.ac.ir>

## Pyroxene chemistry of xenoliths related to volcanic rocks in the Eslamieh Peninsula (Saray volcano): Implications for geothermobarometry and tectonic setting

Pouya Besharati<sup>1</sup>, Ali Kananian<sup>2\*</sup>, Fatemeh Sepidbar<sup>3</sup>

1. Master of Science, School of Geology, College of Science, University of Tehran, Tehran, Iran

2. Professor, School of Geology, College of Science, University of Tehran, Tehran, Iran

3. Pos-Doc researcher, Department of Geology, Faculty of Science, Ferdowsi University, Mashhad, Iran

**Article info****Article history**

Received: 29 December 2021

Accepted: 26 February 2023

**Keywords:**

High-K calc-alkaline,  
xenolith,  
chemistry of pyroxene,  
post-collision,  
Eslamieh Peninsula.

**Abstract**

The high K-volcanic rocks of the Eslamieh Peninsula (Saray) are exposed in the northwestern Urumieh-Dokhtar magmatic belt. They mainly include phonolitic lavas and related xenoliths. The xenoliths can be subdivided into two types with basaltic and trachyandesitic compositions. The phonolites and related xenoliths are characterized by enrichment in large ion lithophile elements (LILEs: Th, Ba, Rb and K) and light rare earth elements (LREE), depletion in high field strength elements (HFSE: Eu, Ta, Nb and Ti) and flat patterns in heavy rare earth elements (HREE). They have typical high-K and shoshonitic signatures formed in post-collisional arc setting. The studied pyroxenes from phonolitic hosts were crystallized at moderate to high pressures (6–15 kbar) and temperatures of 1200–1300 °C, whereas those from trachyandesite and basaltic xenoliths were formed at lower pressures (6–10 kbar and 2–5 kbar) and temperatures (1150–1200 °C and 1100–1150 °C), respectively. Due to the lack of evidence for melting, dissolution and the presence of accumulated microcrystals at the mineral boundary, it seems that the xenoliths were detached from the walls and been transported to the surface during magma ascent.

**Introduction**

The Late Miocene magmatic rocks with calc-alkaline and shoshonitic (or ultrapotassic) characteristics are mainly found along the UDMA and occur in the northern parts of the Turkish–Iranian High Plateau (Allen et al., 2013; Eyuboglu, 2012). Plio-Quaternary magmatic rocks are represented by alkaline rocks with and/or without subduction overprints and by shoshonitic rocks in several regions of the UDMA, but mostly in NW Iran, in the Turkish–Iranian High Plateau (Eyuboglu, 2010). The Paleotethys ocean was located to the north of the magmatic arc, and

hence southward subduction operated from the Paleozoic until the Dogger (Azadi et al., 2015; Yilmaz et al., 1997), and that northward subduction occurred subsequently from the Late Mesozoic until the Eocene. Although several studies have highlighted consensus on different pulses of magma generation mainly in the Late Eocene, Late Miocene and Plio-Quaternary northward subduction model for the geodynamic evolution in the southern part of the study area. The Late Miocene (Tortonian) high-K volcanic rocks are mainly exposed between the Bitlis–Zagros zone and the western Alborz magmatic arc in the

**DOI** <http://doi.org/10.22034/KJES.2023.9.2.101561>**\*Corresponding author:** Ali Kananian **E-mail:** [kananian@ut.ac.ir](mailto:kananian@ut.ac.ir)**How to cite this article:** Besharati, P., Kananian, A., Sepidbar, F., 2024. Pyroxene chemistry of xenoliths related to volcanic rocks in the Eslamieh Peninsula (Saray volcano): Implications for geothermobarometry and tectonic setting. Kharazmi Journal of Earth Sciences 9(2), 47–76.<http://doi.org/10.22034/KJES.2023.9.2.101561>

Eslamieh Peninsula (Saray), east of Urumieh lake. Although several studies have highlighted the temporal and spatial aspects of magmatism in the UDMB, showing the origin, and magmatism related to collisional and post-collisional settings, NW Iran has not been investigated in detail. Also, the information about the physico-chemical conditions of magma formation and genetic relationship between volcanic rocks and their xenoliths is lacking. In this paper, we present a detailed classification of the high-K volcanic rocks in the Eslamieh Peninsula (Saray) and physico-chemical conditions of magma formation and genetic relationship between volcanic rocks and their xenoliths based on mineral and whole rock geochemical studies.

### Geology setting

The study area is located in the northern Urumieh- Dokhtar magmatic belt (NW Iran), part of the Tertiary-Quaternary magmatic belt of Iran. The Late Miocene (Tortonian) high-K volcanic rocks are mainly exposed in the Eslamieh Peninsula (Saray), to the southeast of Urumieh city. Contacts with older strata, including the magmatic and metamorphic basement (such as the Gushchi A-type granites and Cadomian granitic gneisses), are mostly covered by younger salt-clay deposits of the Urumieh Lake. The Late Miocene high-K Saray volcanic rocks appear to crosscut the Iranian basement. Field observations show that the volcanic activity in the Saray can be divided into different sequences of pyroclastic and volcanic activities with the lahar deposits.

### Field observation and petrography

The Saray Peninsula contains high-K volcanic rocks and associated xenoliths which are mainly exposed southeast of Urumieh city.

All investigated lavas and associated xenoliths show porphyric and granular

textures, respectively. Phonolitic-trachytic lavas are mainly exposed in the central part of the Saray Peninsula and contain clinopyroxene, euhedral sanidine with subordinate phlogopite and olivine. They are characterized by sharp contact with associated xenoliths, vesicle's structure up to several centimeters in size, sanidine phenocrysts with maximum size up to 10 cm (an average size of 3 to 4 cm). Sanidine phenocrysts as well as groundmass crystals within lavas show fluidal texture. It is enclosed by fine-grained Fe-oxide grains, which can be related to the breakdown of phlogopite during decompression and the oxidizing conditions during eruption. The sanidines are euhedral with a size of 1 to 6 cm (rare crystals reach a size up to 10 cm). It is the major phase forming the groundmass of all crystalline rocks. Clinopyroxenes are mainly euhedral and appear light to dark green in the polarizing microscope. Occasionally, olivine macro- to megacrysts (up to 1.5 cm) show visible reaction rims, suggesting that they are xenocrysts in trachyte. Carbonate is a common secondary phase in the groundmass of the trachyte, whereas magnetite, apatite, titanite and zircon occur as accessory minerals.

Mantle xenoliths entrained by the post-collisional K-rich magmas have been subdivided in two type in the Saray volcanic field based on their mineral modes and textures: Type-1 pyroxenite in the trachyte, and phonolite; Type-2 with trachyandesitic composition, Type-1 xenoliths with a size from a few millimeters up to 10 cm in diameter were observed in the trachytic/phonolitic rocks and mafic and felsic lamprophyric dykes and plugs, with clear boundaries between the xenoliths and their host magmas. They contain euhedral pyroxene phenocrysts with quartz and apatite inclusions, with minor phlogopite (<3 vol.%) and quartz (<2 vol.%). Their

groundmass is fine-grained and consists mainly of glass and sanidine crystals. Type 2 xenoliths consist mainly of lucite (up to 60 vol.%) followed by clinopyroxene (diopside) (20 vol. %) and phlogopite (20 vol. %).

### Mineral chemistry

Analyses of the mineral compositions is mainly focused on the clinopyroxene, as they are the most abundant minerals in the Saray Peninsula samples and are listed in Supplementary Table 1.

Clinopyroxenes in the phonolite and type-1 and -2 xenoliths have been investigated. They correspond to Quad pyroxenes within the Q=Ca-Mg+Fe<sup>2+</sup> vs, J=2Na with similar wollastonite (Wo) contents and are diopsidic in composition with high contents of CaO and Al<sub>2</sub>O<sub>3</sub> varying from 21.9 to 23.5 wt. %.

### Whole rock geochemistry

The major and trace element compositions of the whole rocks from the Saray Peninsula are listed in Supplementary Table 2. As shown in the Zr/Ti vs. Nb/Y diagram of the host volcanic rocks, Type-1 and -2 xenoliths plot in the fields of phonolite, basalt and trachyandesite. All the Saray high-K show similar chondrite-normalized REE patterns (McDonough et al., 1992) (Fig. 10-a) with enrichment in LREE relative to HREE in chondrite-normalized diagram. In primitive mantle-normalized diagram (Fig. 10-b), all the Saray high-K rocks are mainly characterized by strong enrichment in LILEs (e.g., Rb, Ba, K, and Th) relative to La. The lavas are characterized by conspicuous negative anomalies of HFSE including Nb, Ta and Ti relative to LREEs (Boynton, 1984).

### References

- Aoki, K., Shiba, I., 1973. Pyroxenes from lherzolite inclusions of Itinome-gata, Japan. *Lithos* 6, 41-51.

### Physico-chemical condition of pyroxene crystallization

Based on pyroxene chemistry and the method of Soesso (1997), the physicochemical conditions of pyroxene crystallization are estimated. The pyroxenes of phonolitic host were physically crystallized in moderate to high pressure (6 to 15 kbar) and temperatures of 1200-1300 °C whereas those from trachyandesites and basalts xenoliths were formed at lower pressures (6 to 10 kbar and 2 to 5 kbar) and temperatures (1150-1200 °C and 1100-1150 °C), respectively, at high *fO*<sub>2</sub>. On the basis of pyroxene chemistry, the basic rocks from the Saray Peninsula belong to calc-alkaline series in volcanic arc setting (Neo-Tethys subduction).

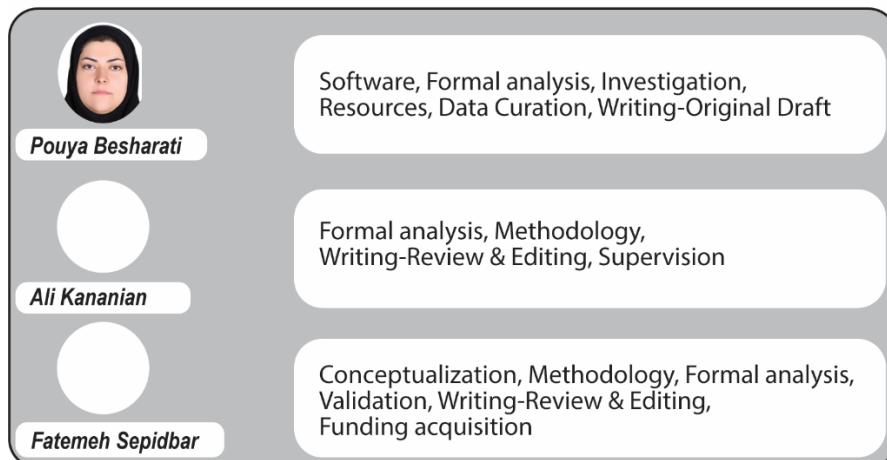
### Conclusion

It seems that the studied samples have typical high-K calc-alkaline signatures formed in post-collisional arc setting. The pyroxenes of phonolitic host were physically crystallized in moderate to high pressures (6 to 15 kbar) and temperatures of 1200-1300 °C whereas those from trachyandesites and basalts xenoliths were formed at lower pressures (6 to 10 kbar and 2 to 5 kbar) and temperatures (1150-1200 °C and 1100-1150 °C), respectively. Due to the lack of evidence for melting, dissolution and the existence of accumulated microcrystals at the mineral boundary, it seems that the xenoliths were detached from the walls and transported to the surface during magma ascent.

- Baker, J.A., Menzies, M.A., Thirlwall, M.F., Macpherson, C.G., 1997. Petrogenesis of Quaternary intraplate volcanism, Sana'a, Yemen: Implications for plume-lithosphere

- interaction and polybaric melt hybridization. *Journal of Petrology*, 38, 1359-1390.
- Boynton, W. V., 1984. Cosmochemistry of the rare earth elements: Meteorite studies", in "Rare earth elements geochemistry. P. Henderson (Elsevier, Amsterdam), 63-114.
- Helz, R. T., 1973. Phase relations of basalts in their melting ranges at  $\text{PH}_2\text{O} = 5 \text{ kb}$  as a function of Oxygen fugacity, part I, Mafic phases. *Journal of petrology* 14, 249-302.
- Lechmann, A., Burg, J.P., Ulmer, P., Guillong, M., Faridi, M., 2018. Metasomatized mantle as the source of Mid-Miocene-Quaternary volcanism in NW-Iranian Azarbaijan: Geochronological and geochemical evidence. *Lithos* 304-307, 311- 328.

## CRediT authorship contribution statement





مقاله پژوهشی

دسترسی آزاد

مجله علوم زمین خوارزمی

Journal homepage <https://gnf.knu.ac.ir>

## شیمی کانی پیروکسن در زینولیت‌های سنگ‌های آتشفسانی شبه‌جزیره اسلامی (آتشفسان سارای): شواهدی از ژئوتربورومتری و محیط تکتونیکی تشکیل آنها

پویا بشارتی<sup>۱</sup>, علی کنانیان<sup>۲\*</sup>, فاطمه سپیدبر<sup>۳</sup>

۱. دانشجوی کارشناسی ارشد، دانشکده زمین‌شناسی، دانشکدگان علوم، دانشگاه تهران، تهران، ایران

۲. استاد، دانشکده زمین‌شناسی، دانشکدگان علوم، دانشگاه تهران، تهران، ایران

۳. محقق پسا دکتری، گروه زمین‌شناسی، دانشکده علوم، دانشگاه فردوسی، مشهد، ایران

اطلاعات مقاله	چکیده
تاریخچه مقاله	سنگ‌های آتشفسانی اولتراتپاسیک شبه جزیره اسلامی (آتشفسان سارای) در شمال غرب کمربند ماگمای ارومیه-دختر واقع شده‌اند. گذاره‌های فونولیتی حاوی زینولیت، بخش قابل ملاحظه‌ای از سنگ‌های آتشفسانی ناحیه را دربرمی-گیرند. انواع زینولیت در این سنگ‌ها به دو گروه زینولیت‌هایی با ترکیب معادل بازالت و تراکی آندزیت قابل تقسیم‌اند. فنولیت‌ها و هر دو نوع زینولیت، غنی‌شدگی LREE و الگوی کمایش مسطح HREE در کتلار بی‌هنجرای منفی Nb-Ta, Eu, Rb و K نشان می‌دهند. این نمونه‌ها همگی ماهیت کالک‌آلکالن پتاسیم بالا دارند و در یک محیط کمان آتشفسانی پس از برخورد شکل گرفته‌اند. کلینوپیروکسن‌های فنولیت‌های میزان در فشار متوسط تا بالا (۶ تا ۱۵ کیلوبار) و دمای ۱۲۰۰ تا ۱۳۰۰ درجه سانتی‌گراد متبلور شده‌اند در حالی که کلینوپیروکسن‌ها در زینولیت‌های بازالتی در فشار ۲ تا ۵ کیلوبار، دمای ۱۱۰۰ تا ۱۱۵۰ درجه سانتی‌گراد و در زینولیت‌های تراکی آندزیتی در فشار ۶ تا ۱۰ کیلوبار و دمای ۱۱۵۰ تا ۱۲۰۰ درجه سانتی‌گراد متبلور شده‌اند. به عبارتی دما و فشار تبلور دیوپسید در زینولیت‌ها کمتر از سنگ میزان فنولیتی آنها است و لذا با توجه به عدم وجود شواهدی چون ذوب شدگی، انحلال، حضور زینوکریست و یا تجمع ریزبلورها در مرز کانی‌ها و محل تماس زینولیت و ماگمای میزان، به نظر می‌رسد که زینولیت‌ها در مسیر صعود ماگما، از دیواره‌ها جدا و توسط ماگما به سطح منتقل شده باشند.
پذیرش: ۱۴۰۱/۱۲/۰۷	واژه‌های کلیدی
دریافت: ۱۴۰۰/۱۰/۰۸	کالک‌آلکالن پتاسیم بالا، زینولیت، شیمی پیروکسن، پس از برخورد، شبه‌جزیره اسلامی



### پیدایش سنگ‌های ماگمای و زینولیت‌های موجود در

آنها دارد. بررسی سنگ‌های ماگمای با سرست کالک‌آلکالن پتاسیم بالا تا شوشونیتی و زینولیت‌های

### مقدمه

مطالعه شیمی کانی‌های اصلی سنگ‌های آذرین، کاربرد گسترهای در بررسی فرآیندهای مرتبط با

DOI <http://doi.org/10.22034/KJES.2023.9.2.101561>

\*نویسنده مسئول: علی کنانیان kananian@ut.ac.ir

استناد به این مقاله: بشارتی، پ، کنانیان، ع، سپیدبر، ف. (۱۴۰۲). شیمی کانی پیروکسن در زینولیت‌های سنگ‌های آتشفسانی شبه‌جزیره اسلامی (آتشفسان سارای): شواهدی از ژئوتربورومتری و محیط تکتونیکی تشکیل آنها، ایران. مجله علوم زمین خوارزمی.



<http://doi.org/10.22034/KJES.2023.9.2.101561>

رخ داده که منطبق با فرورانش نئوتیس به سمت شمال است. این سنگ‌ها ترکیب کالک‌آلکالن تا آلکالن و سن پالتوسن تا پلیوسن دارند (Azadi et al., 2015; Yilmaz et al., 1997).

شبه‌جزیره اسلامی (آتشفشار سارای) بر اساس تقسیم‌بندی پهنه‌های ساختاری ایران در بخش البرز غربی- آذربایجان و در بخش شمالی نوار ماقمایی ارومیه- دختر (درون فلات مرتفع ایرانی- ترکی) قرار گرفته است (Nabavi, 1977). ماقماتیسم شوشوونیتی و اولتراتاسیک شبه‌جزیره اسلامی به سن میوسن پسین- پلیوسن در ساحل شرقی دریاچه ارومیه رخ داده است (Moein Vaziri, 1999; Moradian, 2007). یکی از ویژگی‌های منحصر به فرد سنگ‌های ماقمایی شبه‌جزیره سارای حضور زینولیت‌های اولترامافیک- مافیک در این سنگ‌هاست (Khezerlou et al., 2017) اگرچه مطالعات وسیعی درباره منشأ، ماقماتیسم حاصل از فرورانش پوسته اقیانوسی نئوتیس و ماقماتیسم مرتبط با برخورد و پس از برخورد در نوار ماقمایی ارومیه- دختر انجام شده است ولی مطالعات نسبتاً کمی در ارتباط با این نوع ماقماتیسم در بخش‌های شمال غربی این نوار ماقمایی صورت گرفته است (Khalatbari et al., 2020; Riou et al., 1981; Sarjoughian and et al., 2016). همچنین تاکنون مطالعه‌ای بر روی شرایط پیدایش ماقما نظیر دما، فشار و عمق تشکیل مذاب سازنده سنگ‌ها، ارتباط ژنتیکی سنگ میزبان و زینولیت‌ها صورت نگرفته است.

موجود در آنها، اهمیت بسزایی در شناخت پهنه‌های فرورانش دارد. تغییرات شیمیایی در اینگونه سنگ‌ها، تابع عواملی چون جدایش بلوری، هضم، آمیزش ماقمایی و یا آلایش پوسته‌ای است. از این‌رو، شیمی کانی‌هایی مانند پیروکسن حاوی اطلاعات ارزشمندی از خاستگاه ماقمایی مذاب در برگیرنده آنها و شرایط فیزیکوشیمیایی تبلور از قبیل دما، فشار Leterrier et al., 1982 و فوگاسیته اکسیژن ماقما است (Pearson et al., 2003). زینولیت‌ها همچنین می‌توانند شرایط حاکم بر گوشه را در زمان‌های مختلف به تصویر بکشند و شاهد مستقیمی برای نشان دادن ماهیت گوشه در زیر هر منطقه باشند (Eyuboglu, 2012).

سنگ‌های ماقمایی مختلفی به سن میوسن انتهایی تا پلیو- کواترنری با مشخصات آلکالن، کالک- آلکالن و شوشوونیتی (یا اولتراتاسیک) در امتداد نوار ماقمایی ارومیه- دختر و در بخش شمالی فلات مرتفع Allen et al., 2013؛ (Eyuboglu, 2012) سنگ‌های ماقمایی سنوزوئیک پسین با ویژگی ژئوشیمیایی کالک‌آلکالن پتابسیم بالا تا آلکالن در چندین منطقه از فلات مرتفع ترکی- ایرانی منجمله در بخش شمال غربی کمربند ماقمایی ارومیه- دختر (بخش ایرانی این فلات Keskin, 2003; Kheirkhah et al., 2009) رخنمون دارند (Kheirkhah et al., 2009). فرورانش به سمت جنوب لیتوسفر اقیانوسی تیس که در بخش شمالی فلات ایرانی- ترکی قرار گرفته است، از زمان مزوزوئیک شروع شده و تا سنوزوئیک پسین ادامه پیدا کرده است (Eyuboglu, 2010). البته پالس‌های متعدد ماقمایی در این ناحیه

خاستگاه ماقمای تشکیل‌دهنده نمونه‌های آتشفشنای و زینولیت‌های همراه آن بسنده کردیم.

### موقعیت زمین‌شناسی شبه‌جزیره اسلامی (آتشفشنای سارای)

منطقه مورد مطالعه در پهنه زمین‌شناسی البرز غربی- آذربایجان قرار دارد. نبوی (Nabavi, 1977) در تقسیم‌بندی محدوده‌های تکتونیکی- رسوی ایران بخش عمدۀ آذربایجان را در پهنه البرز قرار می‌دهد. سنگ‌های آتشفشنای سنوزوئیک ناحیه آذربایجان اکثراً در بخش خاوری آن مرکز شده‌اند. ماقماتیسم میوسن پایانی- کواترنری پهنه البرز غربی- آذربایجان در بخش ایرانی آن مربوط به نواحی آتشفشنای سهند و سبلان است. منطقه آتشفشنای سهند در جنوب تبریز، جنوب باختری استان آباد، شمال مراغه و شمال خاوری دریاچه ارومیه واقع است و وسعتی بیش از ۵۰۰۰ کیلومتر را در بر می‌گیرد. آتشفشنای‌های منطقه سهند از دیدگاه پترولولژی به دو دسته قابل تقسیم‌اند: ۱) آتشفشنای اصلی کوه سهند و دیگر گنبد‌های دهانه‌های آتشفشنای پیرامون سهند مانند گنبد آتشفشنای جنوب روستای علی‌جان، خاتون‌آباد، پخی قلوداغی و قزل‌داغی. ۲) آتشفشنای سارای (شبه‌جزیره اسلامی) با سن پلیو- کواترنری متشکل از سنگ‌های فوئیدار Gaderi et al., 2019; Ghalamhash شوشونیتی (et al., 2019).

شبه‌جزیره اسلامی بزرگ‌ترین جزیره دریاچه ارومیه است و در موقعیت جغرافیایی "۴۰° ۲۴' ۴۵° طول شرقی و "۳۹° ۴۸' ۳۷° عرض شمالی قرار دارد. مساحت این جزیره حدود ۳۶۰ کیلومترمربع است.

بر اساس مشخصات پتروگرافی و ژئوشیمیابی، سنگ‌های آتشفشنای شبه‌جزیره اسلامی، عمدتاً ترکیب اولتراتاسیک دارند و حاوی زینولیت‌های مختلفی هستند. در بررسی نحوه تشکیل شبه‌جزیره اسلامی (سارای)، مدل‌های پتروزنتمیکی، به وجود تظاهرات نهائی ماقماتیسم حاشیه فعال قاره‌ای مرتبط با فرورانش پوسته اقیانوس نئوتیس به زیر ایران مرکزی و ذوب بخشی گوشته دگسان و نهایتاً وقوع ماقماتیسم پس از برخورد در یک کمان Gaderi et al., 2019; Hajalilou, 2009; Khezerlou et al., 2017; Lechmann et al., 2018; Moein Vaziri, 1999; Moradian, 2007). سنگ‌های آتشفشنای فنولیتی منطقه، میزبان دو نوع زینولیت بازالتی و تراکی- آندزیتی هستند. در پژوهش حاضر سعی شده است به کمک مطالعات پتروگرافی، داده‌های ژئوشیمیابی سنگ کل و شیمی کانی پیروکسن موجود در زینولیت‌ها و سنگ‌های آتشفشنای میزبان آنها، به تخمین دمای تبلور، فشار و عمق تشکیل مذاب سازنده سنگ‌ها، ارتباط ژنتیکی سنگ میزبان و زینولیت‌ها، میزان تهی شدگی- غنی شدگی عناصر و درجه ذوب بخشی گوشته منشأ سنگ‌های منطقه پرداخته شود. اگرچه مطالعات سنگ‌نگاری نشان‌دهنده حضور کانی‌های دیگری نظیر فلوگوپیت به همراه پیروکسن در نمونه‌های است اما به دلیل کمبود امکانات آزمایشگاهی، دسترسی به شیمی آن‌ها برای تعیین شرایط تبلور ماقما میسر نشد و به داده‌های شیمی کانی پیروکسن برای تعیین شرایط تبلور و

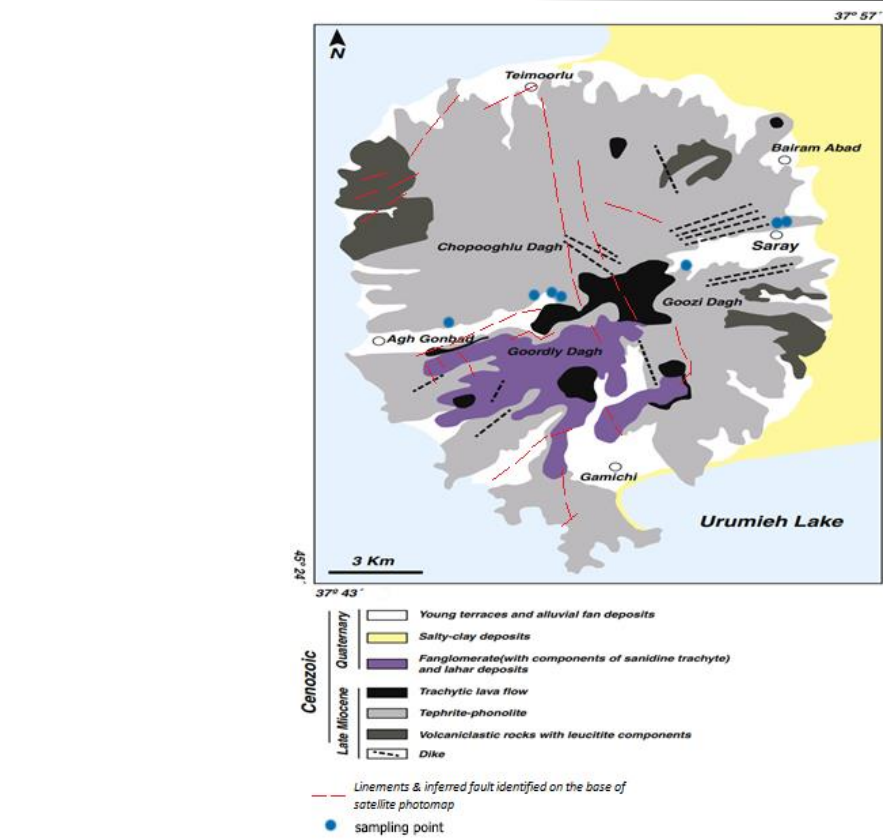
میوسن پایانی) معرفی شده‌اند (Moein Vaziri, 1999) (شکل ۱).

وقوع فعالیت‌های آتشفشنای انفجاری در شبه-جزیره اسلامی به تشکیل دهانه ریزشی و ظهرور سکانسی از نهشته‌های پیروکلاستی منجر شده است. دایک‌ها و سیل‌های متعدد، گدازه‌های تفریتی-فنولیتی و نهشته‌های لاهار نیز به فراوانی در منطقه مشاهده می‌شوند (شکل ۲-b). روند دایک‌ها به حضور فاز کششی مرتبط با بالازدگی متقارن بخش مرکزی شبه‌جزیره اشاره دارد.

### مواد و روش‌ها

برای دستیابی به اهداف این پژوهش، پس از بررسی‌های نخستین و شناخت کلی از منطقه، بازدید صحراوی ده روزه در تیر و مردادماه سال ۱۳۹۶، انجام شد. در این راستا، تعداد ۴۵ نمونه سنگی برای بررسی‌های سنگنگاری برداشت گردید. تلاش شد نمونه‌ها به گونه‌ای برداشت شوند که کمترین هوازدگی و دگرسانی را داشته باشند. در این پژوهش پس از انجام مطالعات صحراوی، تعداد ۷ نمونه زینولیت و سنگ میزبان برای انجام مطالعات ژئوشیمیایی انتخاب شد.

این محدوده در شرق دریاچه ارومیه، در فاصله ۱۰۵ کیلومتری جنوب غرب تبریز و ۵۰ کیلومتری شمال شرقی ارومیه واقع شده است (شکل ۲-a). ارتفاعات شبه‌جزیره اسلامی (آتشفشن سارای) بصورت یک استراتوولکان با ساختار بالازدگی متقارن مشاهده می‌شود که با یک دشت پهناور از آتشفشن سهند جدا می‌شود (Moein Vaziri, 1999). دو گسل اصلی در منطقه مورد مطالعه شامل گسل سارای-آق‌گنبد با روند ENE-WSW و گسل تیمورلو-گمیچی با راستای SSE-NNW وجود دارند که محل تلاقی آنها تقریباً بر بخش مرکزی شبه‌جزیره منطبق است (Hajalilou, 2009; Janglou and Aizadeh, 2015) از نظر چینه‌شناسی، قدیمی‌ترین واحد سنگ‌شناسی، یک مجموعه دگرگونی و مagmaی متشکل از گنیس‌های گرانیتی کادومین و گرانیت‌های تیپ A قوشچی است که اکثراً توسط نهشته‌های نمکی-رسی دریاچه Hassanzadeh et al., (2008) واحدهای آتشفشنی بازانیت، لوسیت-تفریت به همراه سنگ‌های پیروکلاستی به عنوان واحد پایینی آتشفشنی و فنولیت، تراکیت و بازانیت حاوی آنالسیم به عنوان بخش بالایی واحد آتشفشنی (با سن

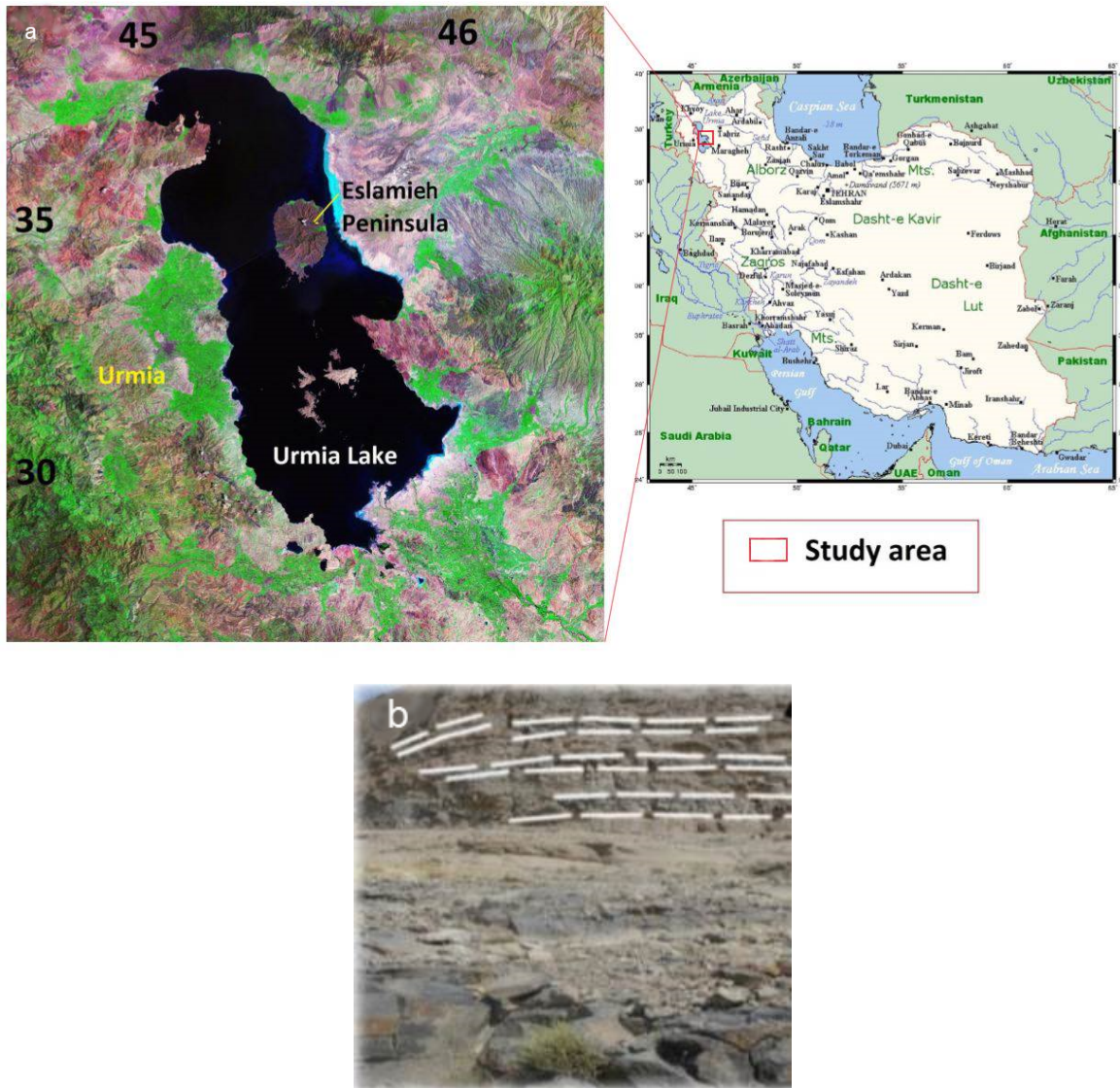


شکل ۱- نقشه زمین‌شناسی شبه‌جزیره اسلامی (آتشفشنان سارای) (Moein Vaziri, 1999)

Fig.1. Geological map of Eslamieh Peninsula (Saray volcano) (modified from Moein Vaziri, 1999)

۴ اسیدی بر پایه کاربرد روش ICP-MS به دست آمده که در جدول ۲ ارائه شده‌اند. برای آنالیز شیمی کانی کلینوپیروکسن از الکترون پرور مدل JXA-82230 آزمایشگاه ژئوشیمی دانشگاه تکنولوژی ووهان چین (WTU) با ولتاژ  $30 \text{ kV}$  و جریان  $10^{-5} \sim 10^{-12} \text{ A}$  نانوآمپر استفاده شد.

فرآیندهای آماده‌سازی و تهیه پودر از نمونه‌ها در دانشکده زمین‌شناسی دانشگاه تهران، تهیه مقاطع نازک در دانشکده زمین‌شناسی دانشگاه خوارزمی و بررسی‌های میکروسکوپی در دانشکده علوم‌پایه دانشگاه بین‌المللی امام خمینی (ره) قزوین صورت گرفت. میزان عناصر کمیاب در مرکز IGGCAS دانشگاه علوم پکن به روش تجزیه ۳۵ عنصری انجام



شکل ۲-۲) تصویر موقعیت جغرافیایی دریاچه ارومیه، شمال غرب ایران و شبه‌جزیره اسلامی ([Alizadeh, 2021](#)). (b) تناب گدازه و نهشته‌های پیروکلاستیک مربوط به روستای سارای.

Fig.2. a) Geographical location of the Lake Urmia, northwestern Iran ([Alizadeh, 2021](#)). b) Interbedded lava and pyroclastic deposits in Saray village.

های آتشفشاری شبه‌جزیره اسلامی در نمونه دستی دارای رنگ تیره تا خاکستری بوده و ظاهری نهان بلورین دارند. این سنگ‌ها دارای قطعات زینولیت با ابعاد چند میلی‌متر تا ۱۰ سانتی‌متر هستند (شکل ۳-a و b). در نمونه‌های دستی، شکل چندضلعی و زاویه-

**مشخصات صحراوی و سنگ‌نگاری**  
از ویژگی‌های منحصر به فرد سنگ‌های ماگمای شبه‌جزیره اسلامی حضور زینولیت‌های اولترامافیک-  
مافیک در این سنگ‌هاست ([Moein Vaziri, 1999](#)؛ [Khezerlou et al., 2017](#))

دار، مرز تیز (sharp) با سنگ میزبان و تفاوت رنگ و ساخت، باعث تمایز زینولیت‌ها از سنگ میزبان می‌شود (شکل ۳-d).



شکل ۳- زینولیت‌های مختلف در سنگ‌های آتشفشنای بخش مرکزی شبه‌جزیره اسلامی، حدفاصل روستای سارای-آق گنبد. (a, b) تصاویر مربوط به زینولیت نوع I در اندازه‌های مختلف. (c) تصویر نمونه زینولیت نوع II. (d) تصویر مربوط به حضور زینولیت نوع I و II در یک سنگ میزبان.

Fig. 3. Different xenoliths in volcanic rocks of central part of Eslamieh Peninsula (Saray- Agh Gonbad villages). a, b) Pictures of I xenolith type in different sizes. c) Picture of II xenolith type. d) Pictures of I and II xenolith types in same host rock.

سنگ‌های حاوی زینولیت متمرکز شده است. سنگ‌های زینولیت‌دار عموماً ترکیب فنولیتی دارند و به صورت گدازه در سراسر شبه‌جزیره قابل مشاهده هستند (شکل ۱). در حالت کلی از نظر سنگ‌شناسی و چینه‌شناسی، استراتوولکان سارای از تناب گدازه‌های فنولیتی و پیروکلاست‌های وابسته تشکیل شده است. از آنجا که شبه‌جزیره اسلامی توسط دریاچه ارومیه و رسبات دریاچه‌ای احاطه شده است، امکان

بر اساس مطالعات صحرایی و روابط بافتی دو نوع زینولیت در سنگ‌های آتشفشنای منطقه قابل شناسایی است که در ادامه پس از تشریح اختصاصات میکروسکوپی سنگ میزبان، به بررسی مشخصات پتروگرافی آنها می‌پردازیم.

### سنگ میزبان

با این که تنوع سنگ‌های آتشفشنای در منطقه نسبتاً زیاد است، این پژوهش به طور خاص بر روی

ادخال‌های آپاتیت و کانی‌های اپک هستند. اولیوین به مقدار بسیار اندک مشاهده می‌شود. کانی‌های اپک و آپاتیت نیز به صورت فرعی حضور دارند (شکل ۴-۶). اندازه بلورها از مرکز به حاشیه زینولیت، تغییر آشکاری نشان نمی‌دهد. به نظر می‌رسد در حین تبلور این بلورها تغییرات دمایی معناداری در ماقما رخ نداده باشد چراکه کاهش و یا افزایش سرعت تبلور ماقما و تغییر در نرخ هسته‌سازی کانی‌ها مشاهده نمی‌شود. بر اساس مشخصات پتروگرافی، می‌توان زینولیت نوع I را کلینوپیروکسنتیت فلوگوپیت‌دار نامید. در این نوع زینولیت، شواهدی دال بر ذوب یا انحلال در مرز بین زینولیت و ماقما میزبان، تشکیل زینوکریست و یا تجمع ریزبلورها در مرز تماس زینولیت با سنگ میزبان مشاهده نمی‌شود. از این‌رو به نظر می‌رسد نرخ صعود ماقما بیش از سرعت انحلال کانی‌ها، ذوب زینولیت و یا تبلور مجدد ریزبلورها در حاشیه فنوکریست‌ها بوده باشد.

## زنولیت‌های نوع II

در نمونه دستی به رنگ خاکستری و حاوی درشت بلورهای سفید تا کرم رنگ آنالسیم هستند (شکل ۳-۵). در مقطع میکروسکوپی، این زینولیت‌ها اغلب بافت میکروگرانولار پوروفیری دارند. کانی لوسیت، فنوکریست اصلی است و تا ۶۰٪ سنگ را به خود اختصاص داده است. اندازه لوسیت‌ها به حدود ۲ میلی‌متر نیز می‌رسد و در بسیاری حالات به آنالسیم تبدیل شده‌اند. دو کانی کلینوپیروکسن و فلوگوپیت نیز گاهی تا ۲۰٪ سنگ را تشکیل می‌دهند. پیروکسن‌ها دارای منطقه‌بندی هستند. بخش مرکزی

مشاهده مرز یا محل تماس اولین فوران با پی‌سنگ وجود ندارد.

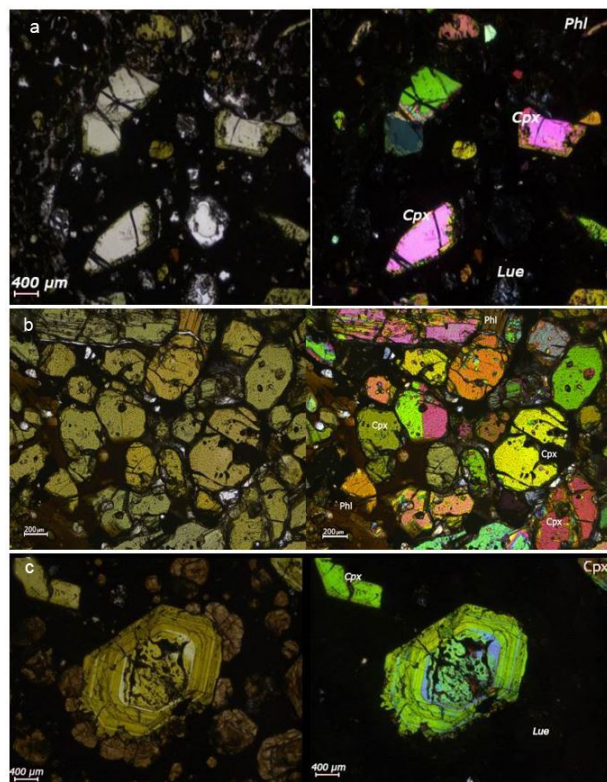
در مقاطع میکروسکوپی، بافت عمومی سنگ میزبان از نوع میکروگرانولار پوروفیری است. کلینوپیروکسن‌های خودشکل تا نیمه خودشکل که از فنوکریست‌های اصلی سنگ میزبان محسوب می‌شوند، معمولاً منطقه‌بندی نشان می‌دهند و گاهی علاوه بر نمایش بافت غربالی از حاشیه نیز دچار خوردگی شده‌اند. لوسیت به صورت خودشکل و هشت‌وجهی مشاهده می‌شوند. این کانی، دارای ماکل مشخص پیچیده هستند و در بیشتر موارد به آنالسیم تبدیل شده‌اند. فلوگوپیت و آپاتیت نیز در این سنگ‌ها حضور دارند (شکل ۴-a). قادری و همکاران (Ghaderi et al., 2019) این سنگ‌ها را لوسیتیت (Leucitite) نامیده‌اند.

## زنولیت‌های نوع I

این نوع از زینولیت‌ها، به صورت قطعات اولترامافیک در سنگ میزبان حضور دارند (شکل ۳-۶ a و c). این نوع زینولیت‌ها، در نمونه دستی به اشکال زاویه‌دار و درشت‌بلور دیده می‌شوند. مرز این قطعات با سنگ میزبان ناگهانی است. بافت سنگ از نوع گرانولار است. کانی اصلی تشکیل دهنده آنها کلینوپیروکسن‌های شکل‌دار تا نیمه شکل‌داری هستند که با فراوانی حدود ۹۰ درصد، با خاموشی موجی و بدون منطقه‌بندی در سنگ حضور دارند. فلوگوپیت با بافت پوئی‌کلیتیک، نسبت به کلینوپیروکسن، تأخیر تبلور نشان می‌دهد. بلورهای فلوگوپیت، گاهی حالت کینگ‌باند دارند و حاوی

خمیره، منجر به تشکیل کانی لوسیت در اطراف پیروکسن شده باشد (شکل ۴-c). قادری و همکاران (Ghaderi et al., 2020) با بررسی شیمی میکاهای موجود در واحدهای مختلف سنگی آتشفشنان سارای نشان دادند که این کانی‌ها از ماغماهای اولیه تشکیل شده‌اند و تفاوت ترکیب چندانی بین مرکز و حاشیه بلورها وجود ندارد.

آنها گاهی مضرس بوده و توسط کانی‌های اطراف مانند لوسیت‌های آنالسیمی احاطه شده‌اند که بافت کرونا یا حاشیه‌ای را تداعی می‌کنند. نتایج شیمی کانی نشان می‌دهد که از بخش هسته به حاشیه کانی مذکور، اکسید پتابسیم تغییرات چندانی نداشته است در حالیکه اکسید سدیم اندکی افزایش یافته است. از اینرو به نظر نمی‌رسد واکنش کلینوپیروکسن با مایع



شکل ۴- تصاویر میکروسکوپی سنگ میزبان و زینولیت‌های مورد مطالعه در دو نور XPL و PPL. a) کانی‌های کلینوپیروکسن، لوسیت، فلوگوپیت و آپاتیت در سنگ میزبان. b) کانی‌های فلوگوپیت و کلینوپیروکسن در زینولیت نوع I. c) کانی کلینوپیروکسن احاطه شده توسط لوسیت‌های آنالسیمی شده در زینولیت نوع II.

Fig.4. Photomicrographs of studied xenoliths and their host rock in XPL and PPL. a) Clinopyroxene, leucite and phlogopite minerals in host rock. b) Phlogopite and clinopyroxene minerals in type I xenolith. c) Clinopyroxene surrounded by analcimized leucite in type II xenoliths.

پس از مطالعات سنگنگاری دقیق و مشخص کردن روابط بافتی میان کانی‌ها، ۷ نمونه برای تجزیه نقطه‌ای به آزمایشگاه ژئوشیمی دانشگاه تکنولوژی

## نتایج و بحث

### شیمی کانی

مايكروپروب پيروکسن‌هاي سنگ‌های آتشفشاري  
ميزان و زينوليت‌هاي مرتبط در جدول ۱ آورده شده‌  
و جريان  $10^{-12}$  ~  $10^{-5}$  نانومتر تجزيه شد. داده‌هاي  
ووهان چين (WTU) ارسال و توسيط دستگاه الکترون  
مايكروپروب مدل JXA-82230 با ولتاژ ۳۰ کيلوات  
اند.

جدول ۱ - نتایج تجزیه عناصر اصلی (wt. %) الکترون مايكروپروب کانی پيروکسن در سنگ ميzan و زينوليت‌هاي شبه‌جزيره اسلامی.

Table 1. Results of electron microprobe analysis of major elements (wt.%) of pyroxene from host rock and xenoliths in Eslamieh Peninsula

Sample	14xcpx-7	14xcpx-7	15xcpx-1	15xcpx-1	15xcpx-1	15xcpx-1	15xcpx-1	15xcpx-1
Type	Xenolith I	Xenolith I	Xenolith II					
Part	rim	core	rim	rim	rim	mantle	Mantle	mantle
SiO <sub>2</sub>	51.12	52.02	49.41	49.9	49.13	51.64	52.19	50.85
TiO <sub>2</sub>	0.68	0.46	1.14	0.83	1.17	0.47	0.44	0.63
Al <sub>2</sub> O <sub>3</sub>	2.91	2.12	3.76	4.18	3.74	2.82	2.33	2.67
Cr <sub>2</sub> O <sub>3</sub>	0.008	0.085	0.038	0.209	0.029	0.324	0.274	0.08
FeO	5.43	4.95	6.95	6.5	6.76	4.78	4.59	5.64
MnO	0.12	0.12	0.14	0.11	0.12	0.1	0.1	0.11
MgO	15.2	15.51	14.49	14.66	14.77	16.04	16.29	15.33
CaO	23.74	23.78	22.78	22.58	23.05	23.01	23.11	22.95
Na <sub>2</sub> O	0.33	0.38	0.46	0.47	0.46	0.35	0.37	0.34
K <sub>2</sub> O	0	0.003	0.002	0.001	0.001	0	0	0.003
Total	99.538	99.428	99.17	99.44	99.23	99.534	99.694	98.603
Si	1.89	1.92	1.84	1.85	1.83	1.9	1.91	0.27
Ti	0.02	0.01	0.03	0.02	0.03	0.01	0.01	0
Al	0.13	0.09	0.16	0.18	0.15	0.12	0.1	0.02
Fe <sup>+3</sup>	0.09	0.07	0.13	0.11	0.16	0.07	0.07	0.02
Cr <sup>+3</sup>	0.0002	0.0025	0.0012	0.0061	0.0009	0.0093	0.0078	0.0003
Fe <sup>+2</sup>	0.08	0.08	0.09	0.09	0.05	0.07	0.07	0
Mn	0.004	0.004	0.004	0.003	0.004	0.003	0.003	0
Mg	0.84	0.85	0.8	0.81	0.82	0.88	0.89	0.12
Ca	0.938	0.939	0.908	0.895	0.919	0.906	0.907	0.129
Na	0.023	0.027	0.033	0.034	0.033	0.025	0.026	0.003
K	0	0.0001	0	0	0	0	0	0
mol Wo	50.61	50.16	50.47	49.77	51.32	48.77	48.55	51.83
mol En	45.09	45.53	44.66	44.96	45.75	47.3	47.62	48.17
mol Fs	4.3	4.31	4.87	5.27	2.93	3.93	3.83	0
mol Dio	97.57	97.19	96.48	96.35	96.5	97.33	97.16	97.37
Al <sup>IV</sup> (tet)	0.096	0.07	0.131	0.131	0.144	0.09	0.076	1.732
Al <sup>VI</sup> (oct)	0.031	0.022	0.034	0.051	0.019	0.031	0.024	-1.71
Al <sup>VI</sup> +2Ti+Cr	0.1	0.07	0.13	0.13	0.14	0.09	0.08	1.73
Na+ Al <sup>IV</sup>	0.03	0.02	0.03	0.05	0.02	0.03	0.02	-1.71
J=2Na	0.1	0.07	0.13	0.13	0.14	0.09	0.08	1.73
Q=Ca+Mg+Fe	0.03	0.02	0.03	0.05	0.02	0.03	0.02	-1.71

دادمه جدول ۱

Sample	15-1xcpx-1	15-1xcpx	15-1Hcpx-5	15-1Hcpx-5	15-1Hcpx-5	27-1-xcpx-1	27-1-xcpx-1	27-1-xcpx-1
Type	Xenolith II	Xenolith II	Host	Host	Host	Xenolith II	Xenolith II	Xenolith II
Part	core	core	core	rim	rim	rim	rim	rim
SiO <sub>2</sub>	50.71	50.97	50.36	50.56	49.8	52.96	52.55	53.71
TiO <sub>2</sub>	0.81	0.72	1.13	0.98	1.24	0.45	0.7	0.33
Al <sub>2</sub> O <sub>3</sub>	2.47	2.51	2.85	3.29	4.25	1.31	1.54	0.95
Cr <sub>2</sub> O <sub>3</sub>	0.031	0.012	0.027	0.026	0.04	0.227	0.211	0.543
FeO	5.85	5.77	5.42	5.71	6.4	3.89	4.41	2.6
MnO	0.13	0.12	0.11	0.12	0.12	0.08	0.09	0.06
MgO	15.28	15.34	14.6	15.18	14.36	16.42	16.04	17.35

## شیمی کانی پیروکسن در زینولیت‌های سنگ‌های آشفشانی ...

CaO	23.02	22.85	23.75	23.44	23.46	24.1	24.05	24.18
Na <sub>2</sub> O	0.4	0.39	0.47	0.36	0.42	0.18	0.21	0.14
K <sub>2</sub> O	0.007	0	0	0.008	0.002	0.005	0	0
Total	98.708	98.682	98.717	99.674	100.092	99.622	99.801	99.863
Si	0.03	0.03	0.02	0.02	0.03	1.94	1.93	1.96
Ti	0	0	0	0	0	0.01	0.02	0.01
Al	0.02	0.02	0.02	0.02	0.03	0.06	0.07	0.04
Fe <sup>+3</sup>	0.03	0.03	0.02	0.02	0.03	0.04	0.04	0.02
Cr <sup>+3</sup>	0.0001	0.0001	0.0001	0.0001	0.0002	0.0067	0.0061	0.0156
Fe <sup>+2</sup>	0	0	0	0	0	0.08	0.09	0.06
Mn	0.001	0.001	0	0.001	0.001	0.002	0.003	0.002
Mg	0.12	0.12	0.11	0.12	0.11	0.9	0.88	0.94
Ca	0.129	0.129	0.133	0.131	0.131	0.948	0.947	0.944
Na	0.004	0.004	0.005	0.004	0.004	0.013	0.015	0.01
K	0	0	0	0.0001	0	0.0005	0	0
mol Wo	51.98	51.7	53.9	52.61	54	49.18	49.36	48.56
mol En	48.02	48.3	46.1	47.39	46	46.62	45.79	48.48
mol Fs	0	0	0	0	0	4.2	4.85	2.97
mol Dio	96.94	96.94	96.51	97.32	96.89	98.67	98.48	98.96
Al <sup>IV</sup> (tet)	1.971	1.971	1.972	1.971	1.967	0.044	0.05	0.034
Al <sup>VI</sup> (oct)	-1.95	-1.95	-1.95	-1.95	-1.94	0.012	0.016	0.006
Al <sup>VI</sup> +2Ti+Cr	1.97	1.97	1.97	1.97	1.97	0.04	0.05	0.03
Na+ Al <sup>IV</sup>	-1.95	-1.95	-1.95	-1.95	-1.94	0.01	0.02	0.01
J=2Na	1.97	1.97	1.97	1.97	1.97	0.04	0.05	0.03
Q=Ca+Mg+Fe	-1.95	-1.95	-1.95	-1.95	-1.94	0.01	0.02	0.01

ادامه جدول ۱

Sample	27-1xcpx-1	27-1xcpx-1	27-1xcpx-1	27-1xcpx-1	27-1xcpx-1	27-1xcpx-1	27-1xcpx-1	27-1xcpx-3
Type	Xenolith II	Xenolith II	Host	Host	Host	Xenolith II	Xenolith II	Xenolith I
Part	rim	mantle	mantle	mantle	core	core	core	core
SiO <sub>2</sub>	52.85	53.51	54.34	53.95	53.97	54.17	53.46	50.02
TiO <sub>2</sub>	0.54	0.28	0.23	0.26	0.24	0.19	0.37	0.77
Al <sub>2</sub> O <sub>3</sub>	1.39	0.91	1.12	0.92	0.88	0.76	1.22	3.72
Cr <sub>2</sub> O <sub>3</sub>	0.29	0.258	0.121	0.034	0.113	0.063	0.059	0.018
FeO	4	2.94	3.02	3.02	2.97	2.72	3.94	7.2
MnO	0.08	0.06	0.07	0.07	0.06	0.06	0.09	0.17
MgO	16.59	17.22	17.67	17.34	17.45	17.73	16.6	13.69
CaO	24.12	24.31	23.65	23.9	23.91	23.85	23.89	23.33
Na <sub>2</sub> O	0.15	0.11	0.2	0.24	0.2	0.18	0.23	0.36
K <sub>2</sub> O	0.008	0	0	0.003	0.004	0	0	0
Total	100.018	99.598	100.421	99.737	99.797	99.723	99.859	99.278
Si	1.93	1.96	1.97	1.97	1.97	1.97	1.95	1.87
Ti	0.01	0.01	0.01	0.01	0.01	0.01	0.01	0.02
Al	0.06	0.04	0.05	0.04	0.04	0.03	0.05	0.16
Fe <sup>+3</sup>	0.05	0.03	0.02	0.03	0.03	0.02	0.03	0.09
Cr <sup>+3</sup>	0.0084	0.0075	0.0035	0.001	0.0033	0.0018	0.0017	0.0005
Fe <sup>+2</sup>	0.07	0.05	0.07	0.06	0.06	0.06	0.09	0.14
Mn	0.003	0.002	0.002	0.002	0.002	0.002	0.003	0.005
Mg	0.9	0.94	0.95	0.94	0.95	0.96	0.9	0.76
Ca	0.945	0.952	0.917	0.933	0.933	0.93	0.936	0.932
Na	0.011	0.008	0.014	0.017	0.014	0.012	0.016	0.026
K	0.0004	0	0	0.0001	0.0002	0	0	0
mol Wo	49.15	48.94	47.23	48.18	48.06	47.68	48.5	50.93
mol En	47.04	48.23	49.08	48.64	48.81	49.32	46.89	41.58
mol Fs	3.8	2.82	3.69	3.18	3.13	3	4.6	7.49
mol Dio	98.89	99.17	98.47	98.22	98.48	98.69	98.28	97.3
Al <sup>IV</sup> (tet)	0.053	0.037	0.028	0.027	0.028	0.023	0.035	0.113
Al <sup>VI</sup> (oct)	0.006	0.002	0.019	0.012	0.009	0.009	0.017	0.05
Al <sup>VI</sup> +2Ti+Cr	0.05	0.04	0.03	0.03	0.03	0.02	0.04	0.11
Na+ Al <sup>IV</sup>	0.01	0	0.02	0.01	0.01	0.01	0.02	0.05

J=2Na	0.05	0.04	0.03	0.03	0.03	0.02	0.04	0.11
Q=Ca+Mg+Fe	0.01	0	0.02	0.01	0.01	0.01	0.02	0.05

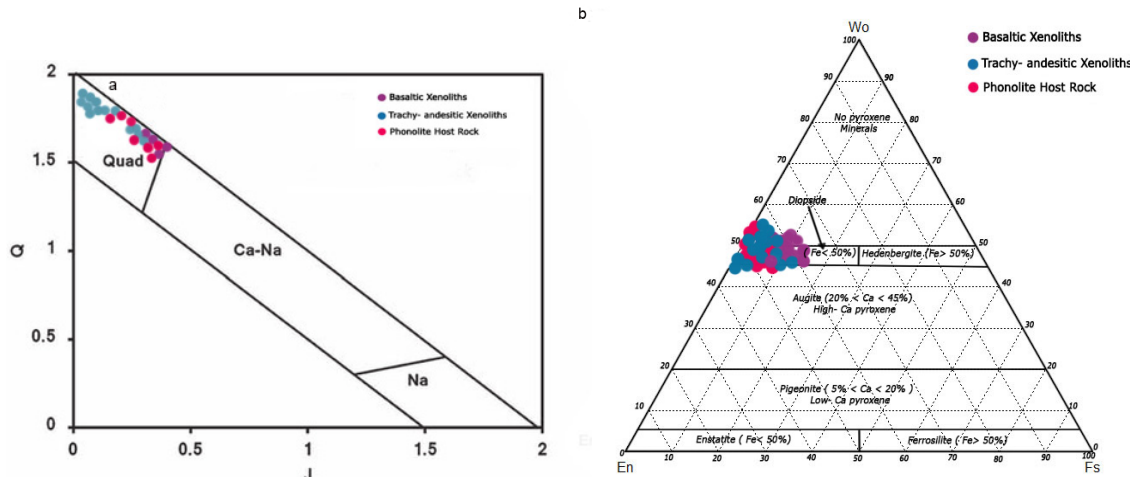
ادامه جدول ۱

Sample	21-xcpx-4	21-Hcpx-5	21-Hcpx-5	21-Hcpx-5	20-1-xcpx-5	20-1-xcpx-5	20-1-xcpx-5	20-1-xcpx-5
Type	Xenolith	Host	Host	Host	Xenolith	Xenolith	Xenolith	Xenolith
Part	I	I	I	I	I	I	I	I
SiO <sub>2</sub>	49.98	50.74	51.44	50.18	49.61	50.98	51.43	51.14
TiO <sub>2</sub>	0.87	0.57	0.51	0.67	0.78	0.66	0.61	0.56
Al <sub>2</sub> O <sub>3</sub>	3.94	3.16	2.86	3.61	3.39	1.91	1.86	2.15
Cr <sub>2</sub> O <sub>3</sub>	0.03	0.247	0.084	0.061	0.017	0.041	0.008	0.013
FeO	7.07	5.92	5.59	6.73	9.66	7.64	7.46	7.94
MnO	0.16	0.12	0.13	0.16	0.24	0.18	0.2	0.22
MgO	13.9	14.67	15.11	14.13	11.98	13.78	13.57	13.64
CaO	23.37	23.38	23.51	23.25	22.97	23.8	23.68	23.46
Na <sub>2</sub> O	0.48	0.38	0.3	0.36	0.59	0.28	0.35	0.56
K <sub>2</sub> O	0.007	0.002	0	0	0	0	0	0
Total	99.807	99.189	99.534	99.151	99.237	99.271	99.168	99.683
Si	1.85	1.88	1.9	1.87	1.87	1.91	1.93	1.9
Ti	0.02	0.02	0.01	0.02	0.02	0.02	0.02	0.02
Al	0.17	0.14	0.12	0.16	0.15	0.08	0.08	0.09
Fe <sup>+3</sup>	0.11	0.08	0.07	0.09	0.11	0.08	0.06	0.11
Cr <sup>+3</sup>	0.0009	0.0072	0.0025	0.0018	0.0005	0.0012	0.0002	0.0004
Fe <sup>+2</sup>	0.11	0.1	0.1	0.12	0.2	0.16	0.18	0.14
Mn	0.005	0.004	0.004	0.005	0.008	0.006	0.006	0.007
Mg	0.77	0.81	0.83	0.78	0.67	0.77	0.76	0.76
Ca	0.927	0.93	0.93	0.928	0.928	0.954	0.95	0.936
Na	0.034	0.027	0.021	0.026	0.043	0.02	0.025	0.041
K	0.0003	0.0001	0	0	0	0	0	0
mol Wo	51.5	50.51	49.83	50.67	51.58	50.76	50.36	51.1
mol En	42.6	44.1	44.56	42.85	37.42	40.89	40.17	41.32
mol Fs	5.9	5.38	5.61	6.48	11	8.35	9.47	7.58
mol Dio	96.43	97.17	97.76	97.31	95.56	97.91	97.41	95.85
AlIV ( tet)	0.125	0.101	0.087	0.113	0.107	0.074	0.056	0.081
AlVI ( oct)	0.046	0.036	0.037	0.045	0.043	0.011	0.026	0.013
AlVI+2Ti+Cr	0.13	0.1	0.09	0.11	0.11	0.07	0.06	0.08
Na+ AlIV	0.05	0.04	0.04	0.05	0.04	0.01	0.03	0.01
J=2Na	0.13	0.1	0.09	0.11	0.11	0.07	0.06	0.08
Q=Ca+Mg+Fe	0.05	0.04	0.04	0.05	0.04	0.01	0.03	0.01

مایکروپروب (جدول ۱)، فنوکریست و ریزبلورهای پیروکسن‌ها نمونه‌های مختلف (سنگ میزبان و زینولیت‌ها)، همگی از نوع کلینوپیروکسن هستند و در نمودار  $Q = \text{Ca} - \text{Mg} + \text{Fe}^{2+}$  در برابر  $J = 2\text{Na}$  (Morimoto et al., 1988) قرار می‌گیرند (شکل a-۵). در این نمودار، پیروکسن‌ها به دلیل کمبود سدیم، همگی به محور Y نزدیک شده‌اند. اکثر کلینوپیروکسن‌های

مقادیر هر عنصر در فرمول ساختمانی کانی پیروکسن از روی نتایج تجزیه شیمیایی کانی، بر پایه Droop، ۶ اتم اکسیژن، به روش دروپ AX اکتیویته (1987) به دست آمده است. با نرم افزار AX اکتیویته اعضای نهایی پیروکسن‌ها، محاسبه و سپس با استفاده از نرم افزارهای رایانه‌ای مانند Gcdkit و Mincalculation و THERMOCALC لازم ترسیم و تفسیر شدند. بر اساس داده‌های

سنگ میزبان و زینولیت‌ها بر روی نمودار Wo-En-Fs (Morimoto et al., 1988) ترکیب مشابه داشته و در قلمرو دیوپسید قرار می‌گیرند (شکل ۵).



شکل ۵ - a) جایگاه پیروکسن در نمودار Q در برابر J (Morimoto et al., 1988). b) جایگاه پیروکسن سنگ‌های مورد مطالعه در نمودار سه تایی Wo-En-Fs (Morimoto et al., 1988).

Fig. 5. a) Pyroxenes of studied samples in Q - J diagram (Morimoto et al., 1988). b) Chemical composition of pyroxene in Wo- En- Fs diagram (Morimoto et al., 1988).

و هر دو نوع زینولیت موجود در آنها، همگی غنی-شدگی LREE و روند کماییش مسطح HREE. همراه با بی‌هنگاری منفی Eu, Ta, Nb و Ti و بی‌هنگاری مثبت Th, Pb, Ba, Rb و K نشان می‌دهند (شکل a-۱۰ و b).

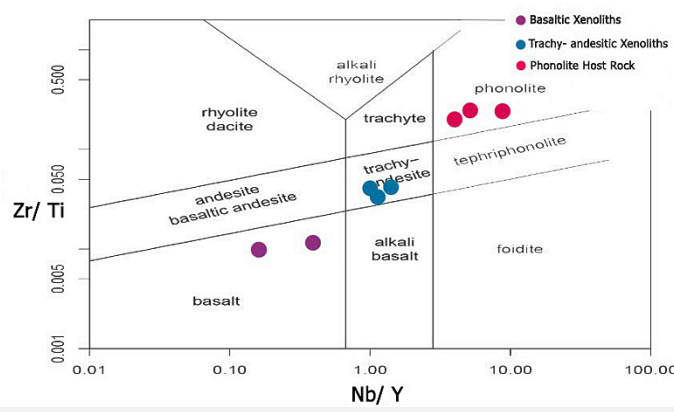
### شیمی سنگ کل

بر اساس نتایج آنالیزهای ژئوشیمیایی سنگ کل (جدول ۲)، زینولیت‌های نوع I در محدوده بازالت، زینولیت‌های نوع II در محدوده تراکی آندزیت و سنگ‌های میزبان زنولیت‌ها در محدوده فتوولیت قرار می‌گیرند (شکل ۶). نمونه‌های سنگ میزبان فنویتی

جدول ۲- نتایج تجزیه ژئوشیمیایی سنگ کل مربوط به نمونه‌های سنگ میزبان و زینولیت‌های شبکه‌جذیره اسلامی.

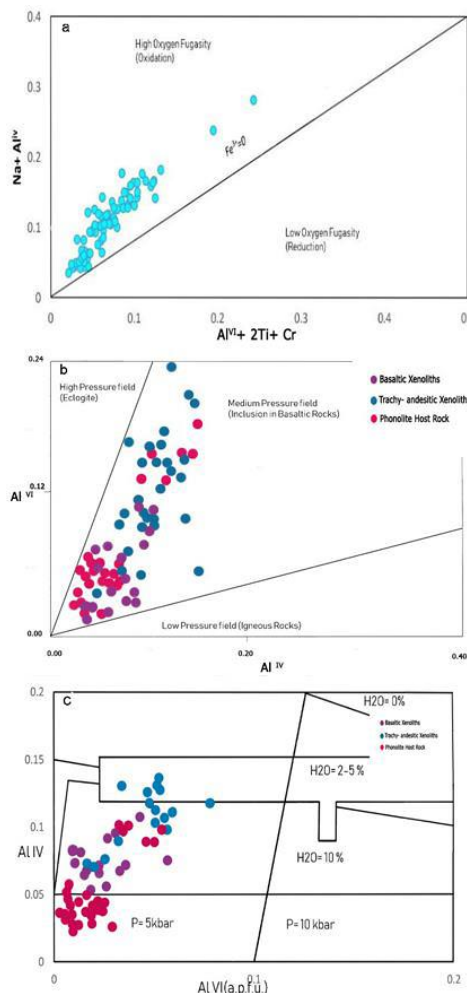
Table 2. Whole rock trace element analysis (ppm) of host rock and xenoliths of Eslamieh Peninsula.

Sample name	015-(X)	20-1(X)	014(X)	27-1(X)	024-1(H)	026(H)
Type	Xenolith II	Xenolith I	Xenolith I	Xenolith II	Host	Host
Li	7.24	1.92	1.06	40	24.1	15.1
Be	5.18	1.44	1.01	4.11	24	29.2
Sc	19.1	34.2	24.9	12.5	9.92	7.61
Ti	7253.94	10731.04	4394.33	6534.54	4094.58	3489.08
V	198	366	95	179	113	121
Cr	461	196	628	620	23.9	6.27
Co	117	68.8	57.9	62	59.8	22.3
Ni	93	71.7	115	91.3	13.9	2.75
Pb	33.5	3.59	6.22	10.6	171	160
Bi	0.088	0.014	0.017	0.047	0.482	0.592
Th	17.8	3.41	1.41	7	32.5	12.5
U	4.15	0.492	0.371	9.74	13.8	17.5
Rb	89	45.1	62	229	108	195
Sr	624	34	188	674	550	328
Y	26.8	103	9.07	21.3	22.1	10
Zr	299	5.8	48.3	225	822	864
Nb	28.6	0.95	3.75	25.6	92.4	91
Cs	6.22	2647	1.29	11.2	12.7	18.8
Ba	1586	54	994	3488	2742	1500
La	59.1	119	7.98	48.9	39.6	13.2
Ce	125	15.4	19.4	96.5	88.4	28.9
Pr	15.2	67.9	2.91	11.7	10.7	3.38
Nd	62.5	15	14.3	49.5	42.1	13
Sm	12.7	3.4	3.63	10.2	8.73	2.71
Eu	2.66	0.52	0.839	2.28	1.93	0.634
Gd	9.8	12.6	3.13	8.1	6.57	2.15
Tb	1.28	1.63	0.405	1.03	0.951	0.359
Dy	6.38	8.16	2.08	4.92	5.14	2.21
Ho	1.06	1.34	0.335	0.797	0.91	0.435
Er	2.68	3.18	0.773	1.96	2.46	1.28
Tm	0.327	0.368	0.093	0.231	0.348	0.207
Yb	2	2.17	0.575	1.44	2.29	1.55
Lu	0.278	0.302	0.082	0.21	0.326	0.226
Hf	8.13	4.15	1.47	5.54	20.3	21.2
Ta	1.66	0.398	0.329	1.21	4.84	4.24

شکل ۶- ردیابی سنگ‌های مورد مطالعه با استفاده از نمودار  $\text{Zr}/\text{Ti}$ - $\text{Nb}/\text{Y}$  (Pearce, 1996).Fig.6. Classification of studied samples using  $\text{Zr}/\text{Ti}$ - $\text{Nb}/\text{Y}$  diagram (Pearce, 1996)

فشار تبلور سنگ‌های آذرین محسوب می‌شود، چرا که مقدار و نوع Al موجود در ساختار کلینوپیروکسن‌ها به فشار و دمای تشکیل کانی بستگی دارد. بر اساس نمودار تغییرات مقادیر  $\text{Al}^{\text{VI}}$  نسبت به  $\text{Al}^{\text{IV}}$  (Aoki *et al.*, 1973) و چه در زینولیت‌ها همگی در فشار متوسط تشکیل شده‌اند (شکل ۷-۶). افزون براین، توزیع آلومینیم در جایگاه تتراهردی و اکتاهردی کلینوپیروکسن روش مناسبی برای ارزیابی درصد تقریبی آب ماقما نیز به شمار می‌رود چرا که با افزایش میزان آب موجود در محیط تبلور پیروکسن‌ها، مقدار  $\text{Al}^{\text{IV}}$  کاهش می‌یابد (Helz, 1973). بر این اساس مقدار آب ماقما در هنگام تبلور کلینوپیروکسن‌های سنگ میزان فنولیتی و زینولیت‌ها، در گستره‌ی ۲ تا ۱۰٪ برآورد شده است (شکل ۷-۷).

شرایط فیزیکوشیمیایی تبلور کلینوپیروکسن در کلینوپیروکسن یون آهن  $\text{Fe}^{\text{III}}$  می‌تواند جانشین عناصر سه ظرفیتی مانند Al، Cr و Ti در موقعیت اکتاهردی شود. پس با افزایش مقدار  $\text{Al}^{\text{IV}}$  امکان ورود سایر عناصر سه ظرفیتی به جایگاه اکتاهردی فراهم می‌شود. بدین ترتیب فراوانی  $\text{Fe}^{\text{III}}$  تابع موازن آلمینیوم در دو جایگاه تتراهردی و اکتاهردی است. مقدار آهن فریک پیروکسن‌ها تابعی از مقدار فشار اکسیژن موجود در محیط تشکیل ماقمای سازنده آنهاست. کلینوپیروکسن‌های مورد مطالعه بر اساس تغییرات  $\text{Al}^{\text{VI}}+2\text{Ti}+\text{Cr}$  در برابر  $\text{Na}+\text{Al}^{\text{IV}}$  قرار می‌گیرند (شکل ۷-۶) که این امر نشان دهنده بالا بودن فوگاسیته اکسیژن در محیط تبلور آنهاست (Schweitzer *et al.*, 1979). ترکیب شیمیایی پیروکسن‌ها ابزار ارزشمندی برای برآورد مقدار دما و



شکل ۷- شرایط فیزیکوشیمیایی تشکیل سنگ میزبان و زینولیتها در شبه‌جزیره اسلامی بر اساس شیمی کانی پیروکسن. a) نمودار تعیین فوگاسیته اکسیژن (Schweitzer et al., 1979) (Aoki and Shiba, 1973). b) تعیین محدوده فشار نمونه‌ها (Aoki and Shiba, 1973). c) برآورد درصد آب مأگما (Helz, 1973).

Fig. 7. Physicochemical condition of host rock and xenolith formation in Saray Peninsula using clinopyroxene chemistry. a) Oxyge fugacity (Schweitzer et al., 1979). b) Pressure ranges (Aoki and Shiba, 1973). c) H<sub>2</sub>O content in magma composition (Helz, 1973).

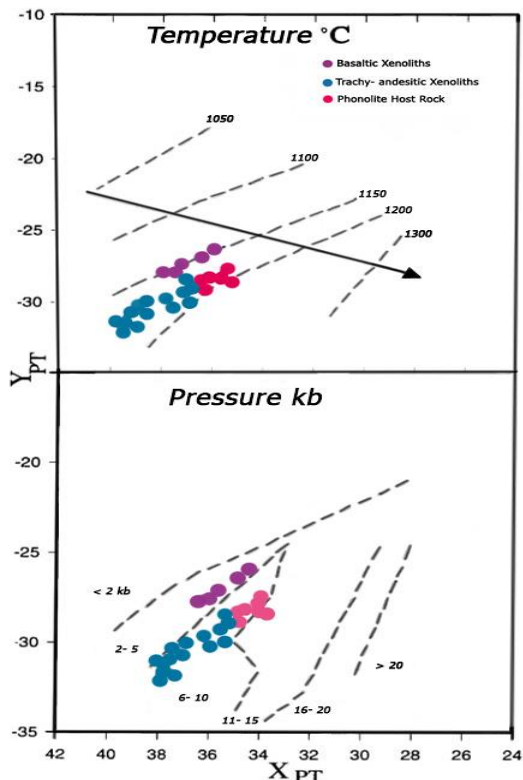
فشار ۱۰ تا ۶ کیلو بار تشکیل شده است (شکل ۸). بر اساس ارتباط عمق و فشار، برآورد می‌شود عمق تبلور این کانی‌ها کمتر از ۴۰ کیلومتر بوده باشد. شایان ذکر است که در مطالعات مشابه بر روی زینولیت‌های اولترامافیک کلینوپیروکسنتی در سنگ‌های آتشفشاری شمال غرب-مرند نیز عمق کمتر از ۴۰ کیلومتر، فشار ۵ تا ۲ کیلوبار و دمای

بر پایه محاسبات دما‌شمارسنجی کلینوپیروکسن سوئسو (Soessoo, 1997)، این کانی در سنگ‌های میزبان در محدوده دمایی ۱۳۰۰ تا ۱۲۰۰ درجه سانتی‌گراد و گستره فشار ۱۵ تا ۶ کیلوبار، در زینولیت‌های نوع I در دمای ۱۱۵۰ تا ۱۱۰۰ درجه سانتی‌گراد و فشار ۵ تا ۲ کیلو بار و در زینولیت‌های نوع II در دمای ۱۲۰۰ تا ۱۱۵۰ درجه سانتی‌گراد و

انجام آنالیز میکروپریوب است و به همین دلیل با استفاده از ترکیب شیمیایی این کانی می‌توان نوع ماگما و محیط ژئودینامیکی آن را تعیین کرد (Le Bas, 1962; Leterrier et al., 1982; Pearce, 1999). در نمودار  $\text{Al}_2\text{O}_3$  در برابر  $\text{SiO}_2$  و  $\text{TiO}_2$  نمونه‌های سنگ میزبان و زینولیت در محدوده کالک-آلکالن قرار می‌گیرند (شکل ۹ a-۹ b).

۱۴۰۰-۱۰۱۵ درجه سانتی‌گراد گزارش شده است (Khezerlou et al., 2017)

دامنه گستردۀ ترکیب شیمیایی کلینوپیروکسن‌ها در انواع سنگ‌های آذرین می‌تواند بیانگر سرشت و خاستگاه ماگمای سازنده این کانی باشد. کلینوپیروکسن در بیشتر سنگ‌ها نسبت به عوامل دگرسان کننده مقاومت کرده و گزینه‌ی مناسبی برای



شکل ۸- تخمین درجه حرارت و فشار تشکیل بلورهای پیروکسن بر اساس  $X_{PT}$  و  $Y_{PT}$ . (Le Bas, 1962)

Fig.8. Estimation of temperature and pressure of clinopyroxene crystallization based on  $X_{PT}$  and  $Y_{PT}$  (Le Bas, 1962).

$$X_{PT}=0.446*\text{SiO}_2+0.187*\text{TiO}_2-0.404*\text{Al}_2\text{O}_3+0.346*\text{FeO} \text{ (tot)}-0.052*\text{MnO}+0.309*\text{MgO}+0.431*\text{CaO}-0.446*\text{Na}_2\text{O}$$

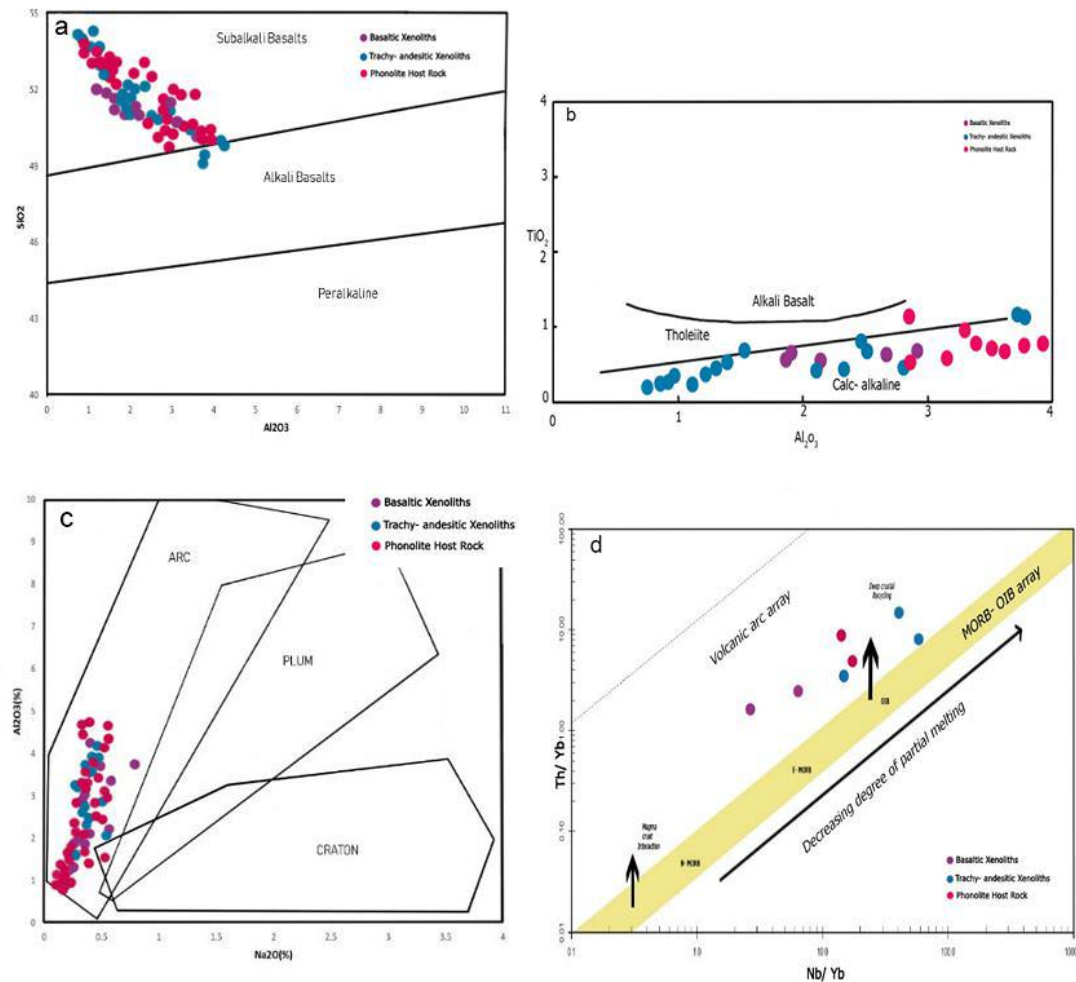
$$Y_{PT}=-0.369*\text{SiO}_2+0.535*\text{TiO}_2-0.317*\text{Al}_2\text{O}_3+0.323*\text{FeO} \text{ (tot)}+0.235*\text{MnO}-0.516*\text{MgO}-0.167*\text{CaO}-0.153*\text{Na}_2\text{O}$$

کمان ماگمایی قرار می‌گیرند (شکل ۹ c). تأثیر اجزا فرورانش در منبع گوشه‌ای سنگ‌های آتشفشنایی

بر اساس مقادیر  $\text{Al}_2\text{O}_3$  و  $\text{Na}_2\text{O}$  پیروکسن‌ها، سنگ‌ها و زینولیت‌های شبه‌جزیره اسلامی در گستره

مربوط به محیط‌های کمانی را نشان می‌دهند (شکل .d-۹).

سارای و زینولیت‌های موجود در آن را می‌توان با کمک نمودار Th/Yb در برابر Nb/Yb نیز شناسایی کرد. بر این اساس نمونه‌های مورد مطالعه، آرایه



شکل ۹- a - b ) موقعیت پیروکسن‌های موجود در زینولیت‌ها و سنگ میزبان آنها بر روی نمودارهای تفکیک سری‌های ماسه‌ای (Le Bas, 1962). c) ترکیب پیروکسن‌ها بر روی نمودار تفکیک محیط‌های تکتونوماسه‌ای (Le Bas, 1962). d) نمودار Nb/Yb در برابر Th/Yb (Pearce, 1996) جهت تعیین محیط تکتونیکی.

Fig.9. a,b) Classification diagram of magmatic series based on pyroxene chemistry (Le Bas, 1962). C) Tectomagmatic discrimination diagram of studied pyroxenes (Le Bas, 1962). d) Nb/Yb vs. Th/Yb tectonomagmatic diagram (Pearce , 1996).

فرابنی اکسیدهای اصلی در کانی کلینوپیروکسن

نشان می‌دهد که سنگ میزبان فنولیتی از اکسیدهای  $\text{TiO}_2$  و  $\text{Al}_2\text{O}_3$  نسبت به هر دو نوع زینولیت غنی‌تر

بررسی تغییرات عنصری در پیروکسن‌ها

موازی با دیگر نمونه‌ها دارد اما حاوی عناصر نادر خاکی کمتری است. نمونه‌های سنگ میزبان فنولیتی و هر دو نوع زینولیت موجود در آنها، غنی‌شدگی LREE و روند کمابیش مسطح HREE، در کنار بی-هنجری منفی Eu، Ta و Ti و بی‌هنجری مثبت U، Th، Ba و Pb و K نشان می‌دهند (شکل ۱۰ a و b).

**پتروژنز سنگ‌های فنولیتی و زینولیت‌ها**  
سنگ‌های آتشفشاری شبه‌جزیره اسلامی و زینولیت‌های نوع I و II در محدوده سری ماگمایی کالک‌آلکالن پتابسیم بالا و شوشونیتی جای گرفته و با غنی‌شدگی شدید عناصر ناسازگار نظیر Ba، Rb، Zr، Th و LREE و تهی‌شدگی عناصر Nb، Ti و Ya مشخص می‌شوند. غنی‌شدگی عناصر ناسازگار در نمونه‌ها نشان می‌دهد که این سنگ‌ها و زینولیت‌های موجود در آنها از یک منبع گوشه‌ی لیتوسفری دگرسان مشتق شده‌اند.

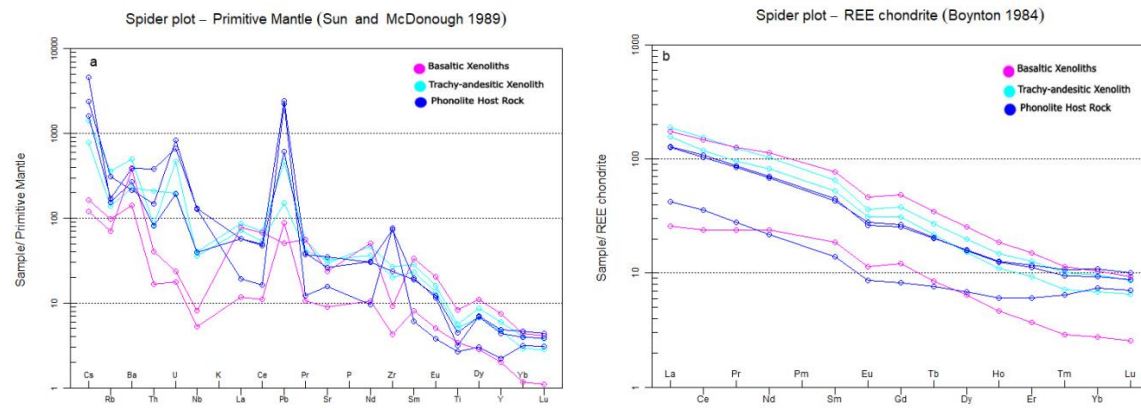
آنومالی منفی Nb و Ti شاخصه سنگ‌های تشکیل شده در مناطق فرورانش است. تمامی نمونه‌ها از لحاظ محتوی Ti (۵۷۸۵-۴۰۹۴ بی‌بی‌ام) در گروه سنگ‌های کم تیتانیوم مرتبط با فرورانش قرار می‌گیرند (Roger, 1992). تاثیر اجزای فرورانش در منبع گوشه‌های سنگ‌های آتشفشاری سارای و زینولیت‌های موجود در آن را می‌توان به کمک نمودار Th/Yb برابر Ta/Yb نیز نمایش داد (شکل ۹-d). قرار گیری نمونه‌های مورد مطالعه در آرایه مربوط به کمان‌های آتشفشاری و نسبت Th/Yb، می‌تواند نشان‌دهنده

است. نبود پلازیوکلاز و همچنین کانی‌های تیتانیوم-دار همچون ایلمنیت و تیتانومگنتیت در سنگ میزبان فنولیتی می‌تواند دلیل این امر باشد. پیروکسن‌ها در زینولیت‌های نوع I در مقایسه با زینولیت‌های نوع II حاوی  $\text{Al}_2\text{O}_3$  بیشتری هستند که این مسئله می‌تواند به نبود پلازیوکلاز در زینولیت‌های نوع I مربوط باشد. پیروکسن‌ها در زینولیت‌های نوع II با ترکیب معادل تراکی-آنذیت دارای  $\text{Cr}_2\text{O}_3$  و  $\text{MgO}$  بالاتری هستند. مقادیر اندک اولیوین، نبود پلازیوکلاز و کانی‌هایی مانند کرومیت در این سنگ‌ها از جمله دلایل این امر محسوب می‌شوند. پیروکسن‌ها در زینولیت‌های نوع I نسبت به پیروکسن‌های سنگ میزبان فنولیتی یا زینولیت نوع II دارای  $\text{Na}_2\text{O}$  بیشتری هستند. کمبود  $\text{Na}_2\text{O}$  در پیروکسن‌های زینولیت‌های نوع II با تبلور کانی لوسیت در این سنگ‌ها مرتبط است.

در بررسی عناصر کمیاب و نادر خاکی با استفاده از الگوهای بهنجارشده نسبت به مقادیر گوشه‌ی اولیه و کندریت (Boynton, 1984; McDonough et al., 1992) مشخص شد که عناصر ناسازگار سبک (Th, Cs, Pb) در برابر عناصر ناسازگار سنگین، ۱۰ تا ۱۰۰۰ برابر غنی‌شدگی نشان می‌دهند (شکل ۱۰-a). الگوی تغییرات مربوط به نمونه سنگ میزبان فنولیتی و هر دو نوع زینولیت، به صورت موازی می‌باشد به گونه‌ای که الگوهای سنگ میزبان فنولیتی و زینولیت نوع II با ترکیب معادل تراکی-آنذیتی مشابه است، اما زینولیت نوع I (پیروکسینیت) که از لحاظ ترکیب شیمیایی معادل بازالت است، اگرچه الگوی عنصری

از برخورد هستند. الگوی تغییرات عناصر نادر خاکی در زینولیت‌ها و سنگ میزبان آنها به صورت موازی همراه با غنی شدگی از عناصر LREE نسبت به HREE و آنومالی منفی عنصر Eu است که نشان‌دهنده منشأ یکسان آنهاست (Wilson, 1989).

آلایش پوسته‌ای ماقمای تشکیل دهنده این سنگ‌ها در یک محیط پس از برخورد باشد (Pearce, 1996). زینولیت‌ها و سنگ‌های میزبان آنها از عناصر LREE و LILE غنی شده‌اند که از این جهت هم مشابه با سنگ‌های تشکیل شده در یک محیط پس



شکل ۱۰ - a) نمودار عنکبوتی عناصر کمیاب بهنجارشده نسبت به گوشه اولیه در نمونه‌های مورد مطالعه (Boynton, 1984). b) نمودار بهنجارشده مقادیر عناصر نادر خاکی نسبت به کندریت (McDonough et al., 1989).

Fig.10. a) Primitive mantle-normalized spider diagrams (McDonough et al., 1989). b) Chondrite-normalized REE patterns (Boynton, 1984).

است که موید وجود یک کمان ماقمایی غنی شده می‌باشد. از این‌رو به نظر می‌رسد در پی دگرسانی گوشه و بر اثر نرخ پایین ذوب بخشی، ایجاد شده باشند. داده‌های ایزوتوپی Sr و Pb سنگ‌های این جزیره نشان می‌دهد که مذاب مادر از گوشه دگرسان Lechmann et al., 2018) نوع EMII منشأ گرفته‌اند (2018). میکاهای قهقهه‌ای دایک‌های لامپروفیری مینت در جزیره اسلامی Ti و Al بالایی دارند در حالیکه کلینوپیروکسن‌های این دایک‌ها از این عناصر فقیرند و به همین دلیل منشأ آنها را نیز به گوشه

نسبت بالای Ba/Nb>28 یکی از اختصاصات شناخته شده ماقماتیسم کمان‌های آتشفشنای است (Gill, 1981). در تمامی نمونه‌های مورد مطالعه این نسبت بین ۳۰ تا ۴۵۶ متغیر است. ماقمای کمان‌های آتشفشنای بر اساس نسبت Ce/Yb در دو دسته غنی شده و اندک غنی‌شده جای می‌گیرند (Juteau and 1997). اگر این نسبت بیشتر از ۱۵ باشد کمان از نوع غنی شده (Enriched) و چنانچه از ۱۵ کمتر باشد از نوع اندک غنی شده (Poorly Enriched) است. نسبت Ce/Yb در سنگ میزبان فنولیتی و زینولیت‌های آن بین ۷۰ تا ۳۳ در نوسان

La/Sm معرفی شده توسط آلدانماز و همکاران (Aldanmaz et al., 2000) نیز استفاده نمود (شکل ۱۱-a).

این نمودار پیشنهاد می‌کند که گوشه منشأ زینولیت نوع II و زینولیت نوع I، لرزولیت حاوی فلوگوپیت و یا آمفیبول بوده و کانی گارنت نیز همراه با اسپینل در منشأ حضور داشته است. این در حالی است که سنگ میزبان فنولیتی از گوشه اسپینل لرزولیتی منشأ گرفته است.

بر اساس نمودار Yb در برابر La/Yb اکثر نمونه‌ها در بالای منحنی ذوب گارنت لرزولیت و در سمت راست منحنی ذوب اسپینل لرزولیت جای گرفته‌اند - ۱۱ (Baker et al., 1997; Qi et al., 2018)

(a). به عبارت دیگر نزدیک به ترکیب مذابی قرار دارند که از ذوب بخشی ۵/۰ درصدی رخساره گارنت و ۵ درصدی رخساره اسپینل تشکیل می‌شود (شکل ۱۱-

-b). در تایید نتایج نمودارهای شکل ۱۱-a و b، نسبت Dy/Yb در نمونه‌های سنگ میزبان فنولیتی و زینولیت‌ها نیز محاسبه گردید. چرا که ذوب بخشی در محدوده پایداری اسپینل، محدوده پایداری گارنت و محدوده پایداری انتقالی اسپینل- گارنت هر کدام به ترتیب منجر به تولید مذابی با نسبت Dy/Yb پایین < ۱/۵>، بالا (۲/۴) و متوسط (۳ تا ۱/۵) می‌شود

(McKenzie et al., 1991). در شبه‌جزیره اسلامی

نسبت Dy/Yb در سنگ میزبان فنولیت ۲/۵ تا ۱/۴ در زینولیت نوع I، ۳/۶ تا ۳/۷ و در زینولیت نوع II ۳/۴ تا ۳/۱ است. به عبارت دیگر بیشتر نمونه‌ها در محدوده پایداری انتقالی اسپینل- گارنت قرار می‌گیرند. بالا بودن مقادیر عناصر LREE در مقایسه با

لیتوسفری دگرسان غنی از فلوگوپیت نسبت داده‌اند (Aghazadeh and Badrzadeh, 2015)

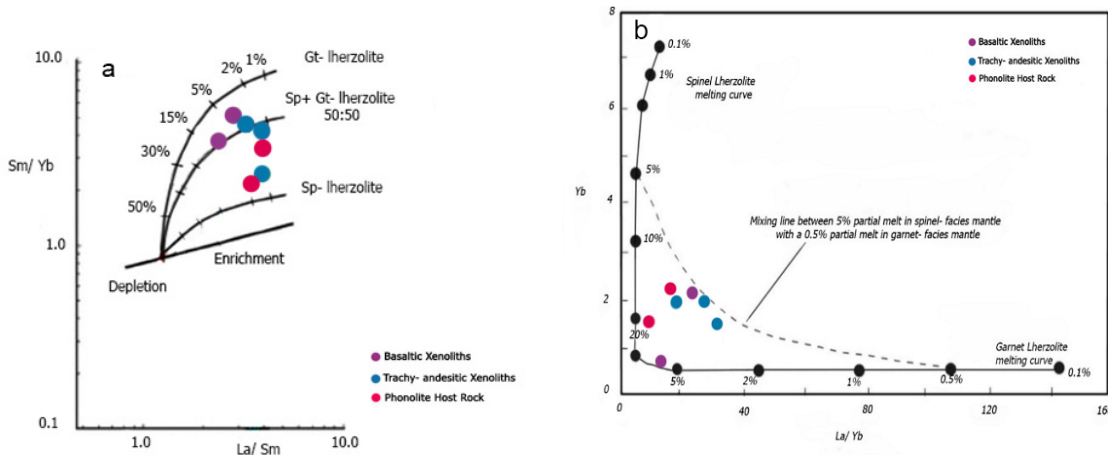
بر پایه شیمی کانی کلینوپیروکسن، سنگ‌های آتشفشنای شبه‌جزیره اسلامی و زینولیت‌های مربوطه، متعلق به سری ماگمایی کالک‌آلکالن وابسته به کمان ماگمایی حاشیه قاره‌اند که این تعبیر با بالا بودن فوگاسیتی اکسیژن در نمونه‌ها همخوانی دارد. وجود پیروکسن‌های پر فشار و کم فشار در نمونه‌ها نشان می‌دهد که مذاب سازنده سنگ‌های آتشفشنای سارای پس از شکل‌گیری در یک پهنه وابسته به فرورانش، در فشارهای بالای حاکم بر گوشه، شروع به تبلور نموده و در حین صعود و بالا آمدن، به تبلور خود در فشارها و دماهای کمتر ادامه داده است.

بر اساس داده‌های شیمی کانی کلینوپیروکسن، سنگ‌های مورد مطالعه جزء سنگ‌های کم تیتانیوم به شمار می‌روند. سنگ‌های کم تیتانیوم از ذوب گوشه غنی از فلوگوپیت و پیروکسن و سنگ‌های پر تیتانیوم از گوشه فلوگوپیت‌دار منشأ می‌گیرند. بر این اساس ترکیب گوشه‌ی لیتوسفری دگرسان می‌توانسته حاوی فلوگوپیت و پیروکسن بوده باشد. از آنجایی که در منبع گوشه‌ای سنگ‌های منطقه کانی فلوگوپیت حضور داشته، احتمالاً مذاب از عمق کمتر از ۲۵۰ کیلومتری منشأ گرفته است.

برای تایید وقوع ذوب بخشی درجه پایین در گوشه لیتوسفری دگرسان غنی از فلوگوپیت و پیروکسن و البته ارزیابی جنس سنگ منشأ نمونه‌های آتشفشنای و زینولیت‌های موجود در شبه‌جزیره آتشفشنای سارای می‌توان از نمودار Sm/Yb در برابر

باقی‌مانده گارنت و یا هورنبلند در سنگ منشأ باشد (Rollinson, 1993).

و مقدار پایین Y و Yb در کنار نسبت بالای HREE می‌تواند نشانه تعادل بین مذاب و فازهای La/Yb



شکل ۱۱- a) تخمین درجه ذوب بخشی گوشته منشأ زینولیت‌ها و سنگ میزبان فنولیتی بر اساس عناصر فرعی (Aldanmaz et al., 2000). خطوط منحنی روند تغییر ترکیب مذاب‌های حاصل از درجات مختلف ذوب بخشی اسپینل لرزولیت (sp), اسپینل- گارنت لرزولیت (Sp-Gt Iherzolite) و گارنت لرزولیت (Gt-Iherzolite) را نشان می‌دهند. b) مدل ذوب بخشی ماغما بر اساس عناصر فرعی و موقعیت زینولیت‌ها و سنگ میزبان فنولیتی مورد مطالعه (Baker et al., 1997; Qi et al., 2018).

Fig. 11. a) Trace element plots to estimate the degree of partial melting and the origin of studied xenoliths and host rocks. The trends show partial melting of spinel- Iherzolite (sp- Iherzolite), spinel- garnet Iherzolite (sp-gt Iherzolite) and garnet- Iherzolite (gt- Iherzolite) (Aldanmaz et al., 2000). b) Partial melting models based on trace elements (Baker et al., 1997; Qi et al., 2018).

اعتقاد بر این است که برخورد دو ورقه ایران و عربستان در ۲۵ میلیون سال قبل رخ داده و برخورد دو ورقه اوراسیا و عربی منجر به شکسته شدن ورقه اقیانوسی فرورونده، بالا آمدن گوشته استنسفری و متعاقب آن ذوب بخشی گوشته لیتوسفری دگرسان و تشکیل ماقمای سازنده سنگ‌های آتشفشنای شبه‌جزیره سارای شده است (Stern et al., 2021). ذوب این گوشته لیتوسفری احتمالاً در اثر آشفتگی دمایی ناشی از بالا آمدن گوشته استنسفری و در نتیجه کم شدن تدریجی حجم گوشته لیتوسفری رخ داده است. در بررسی نمونه دستی و مقطع نازک زینولیت نوع I شواهدی دال بر ذوب شدگی و انحلال

در بررسی سنگ‌های آتشفشنای شمال غرب ایران- آذربایجان، عامل افزایش Dy/Yb، به عملکرد گارنت در سنگ منشأ ارتباط داده شده است (Lechmann et al., 2018). بر اساس داده‌های ژئوشیمیایی سنگ کل و شیمی کانی کلینوپیروکسن می‌توان پیشنهاد کرد که سنگ‌های شبه‌جزیره سارای از ذوب بخشی با نرخ اندک (۱ تا ۵ درصد) گوشته لیتوسفری دگرسان حاوی فلوگوپیت و گارنت ایجاد شده‌اند (Ghaderi et al., 2019; Hojalilou et al., 2009; Lechmann et al., 2018; Moayyed et al., 2008; Moein Vaziri, 1999).

با کانی‌های درشت‌بلور کلینوپیروکسن، فلوگوپیت و کانی‌های فرعی اپک می‌باشند. زینولیت‌های نوع دوم با درشت‌بلورهای لوسیت، به همراه کانی‌های فرعی پیروکسن و فلوگوپیت دارای بافت میکروگرانولار پورفیری هستند. بر پایه مطالعات شیمی کانی، کلینوپیروکسن‌های سنگ میزبان در فشار متوسط تا بالا (۱۵ تا ۶ کیلوبار) و دمای ۱۳۰۰ تا ۱۲۰۰ درجه سانتی‌گراد متبلور شده‌اند. زینولیت‌هایی با ترکیب معادل بازالت در فشار ۵ تا ۲ کیلوبار، دمای ۱۱۵۰ تا ۱۱۰۰ درجه سانتی‌گراد و زینولیت‌هایی با ترکیب معادل تراکی‌آندزیتی در فشار ۱۰ تا ۶ کیلوبار و دمای ۱۲۰۰ تا ۱۱۵۰ درجه سانتی‌گراد و اعمق کمتر از ۴۰ کیلومتر متبلور شده‌اند. از دیدگاه شرایط شیمیایی، پیدایش این کانی‌ها برای هر دو نوع سنگ میزبان و زینولیت‌های همراه، در محیطی با اکسیژن متغیر و بالا روی داده و میزان آب ماغماهای تشکیل دهنده آنها از ۲ تا نزدیک به ۱۰ درصد برآورد شده است.

الگوی غنی‌شدگی LREE و کمابیش مسطح HREE در کنار بی‌هنجری منفی Eu، Ta، Eu، و بی‌هنجری مثبت Th، Ba، Rb و K در نمونه‌های سنگ میزبان فنولیت و هردو نوع زینولیت، مشاهده می‌شود. بر اساس شیمی کلینوپیروکسن و نمودارهای تفکیک کننده محیط‌های تکتونیکی، سنگ میزبان و هر دو نوع زینولیت، ماهیت کالک-آلکالن پتاسیم بالای وابسته به کمان‌های آتشفشنای دارند. مقادیر Yb و Y پایین و نسبت بالای La/Yb و Dy/Yb، به تعادل بین مذاب و فازهای باقیمانده

در مرز بین زینولیت و ماغماهای میزبان، تشکیل زینولیت‌ها با سنگ میزبان مشاهده نشد. از این‌رو به نظر می‌رسد نرخ صعود ماغما سریع‌تر از سرعت انحلال، ذوب و تبلور مجدد ریز‌بلورهای حاشیه‌ای بوده باشد. این مسئله سازگار با مطالعات انجام شده در شمال غرب ایران در آذربایجان است. این منطقه از ایران دارای لیتوسفری با ضخامت تقریبی ۱۰۰ کیلومتر و پوسته نسبتاً ضخیم ۴۸ تا ۳۸/۵ کیلومتر و Dehghan and Makris, (1984; Taghizzadeh et al., 2015) گوشته فوقانی داغ است (دما و فشار تبلور دیوپسید در زینولیت‌ها کمتر از سنگ میزبان فنولیت است. بنابراین به نظر می‌رسد، زینولیت‌ها در مسیر صعود ماغما و احتمالاً از دیواره‌ها جدا و توسط ماغما به سطح منتقل شده‌اند).

### نتیجه‌گیری

سنگ‌های آتشفشنای اولتراپتاسیک شبه جزیره اسلامی (آتشفشنان سارای) در بخش شمال‌غربی پهنه آتشفشنای ارومیه-دختر واقع شده‌اند. مطالعات پتروگرافی و بررسی‌های صحرایی نشان می‌دهد گدازه‌های فنولیتی میزبان دو نوع زینولیت هستند. در نمودارهای ژئوشیمیایی، زینولیت‌های نوع اول ترکیبی معادل بازالت دارند در حالی که زینولیت‌های نوع دوم، ترکیب تراکی‌آندزیتی دارند. فنولیت‌های میزبان بیشتر از کانی‌های درشت‌بلور کلینوپیروکسن و لویسیت، به همراه کانی‌های فرعی فلوگوپیت و آپاتیت با زمینه‌ای ریز‌بلور و شیشه‌ای تشکیل شده‌اند. در حالی که زینولیت‌های نوع اول دارای بافت گرانولار

سطح منتقل شده‌اند. نبود شواهد پتروگرافی مربوط به ذوب، انحلال، زینوکریست، تجمع ریزبلور در مرز کانی‌ها و محل تماس زینولیت و ماجمای میزبان موید آن است که نرخ صعود ماگما بیشتر از سرعت انحلال، ذوب و واکنش فنوکریست‌ها با ماجمای بوده است.

### سپاسگزاری

از داوران محترم و همچنین کامنت‌های اصلاحی دکتر مرتضی دلاوری که سبب ارتقاء کیفیت مقاله شده‌اند، قدردانی می‌شود.

گارنت و یا هورنبلند در سنگ منشأ اشاره دارد. بر اساس نمودارها و با توجه به مجموع داده‌های ژئوشیمیایی سنگ کل و شیمی کانی کلینوپیروکسن می‌توان پیشنهاد کرد که سنگ‌های شبه‌جزیره سارای از ذوب بخشی با نرخ اندک (۱ تا ۵ درصد) گوشته لیتوسفری دگرسان حاوی فلوگوپیت و گارنت ایجاد شده‌اند. مقادیر حاصل از تخمین دما و فشار تبلور دیوپسید، نشان می‌دهد که زینولیت‌ها در دما و فشار کمتری نسبت به سنگ میزبان فنولیت تشکیل شده‌اند. بنابراین قطعات زینولیت‌ها در مسیر صعود ماگما و احتمالاً از دیواره‌ها جدا و توسط ماگما به

## References

- Aghazadeh, M.; Badrzadeh, Z., 2015. Petrology and petrogenesis of alkaline and calc-alkaline lamprophyres in the NW Iran. *Geoscience Scientific Quarterly Journal* 24, 84. (in Persian)
- Aldanmaz, E., Pearce, J.A., Thirlwall, M. F., Mitchell, J. G., 2000. Petrogenetic evolution of late Cenozoic, Post-collision volcanism in Western Anatolia, Turkey. *Journal of Volcanology and Geothermal Research*, 102, 67-95.
- Alizadeh, A., 2021. Amount and location of tectonic uplift in the Urmia region of northwest Iran from the Permian to the Neogene. *SN Applied Science* 57, 153- 165.
- Allen, M. B., Kheirkhah, M., Neill, I., Emami, M. H., Mcleod, C. L., 2013. Generation of arc and within- plate chemical signatures in collision zone magmatism: Quaternary lavas from Kurdistan province, Iran. *Journal of Petrology*, 1-25.
- Aoki, K., Shiba, I., 1973. Pyroxenes from lherzolite inclusions of Itinome-gata, Japan. *Lithos* 6, 41- 51.
- Azadi, E., Rahgoshay, M., Alirezaei, S., Emami, M.H., 2015. Geochemistry and petrogenesis of the volcanic rocks in the central part of Bozghush ranges, northwest of Iran. *Petrology* 24, 1-23.
- Baker, J.A., Menzies, M.A., Thirlwall, M.F., Macpherson, C.G., 1997. Petrogenesis of Quaternary intraplate volcanism, Sana'a, Yemen: Implications for plume-lithosphere interaction and polybaric melt hybridization. *Journal of Petrology*, 38, 1359-1390.
- Boynton, W. V., 1984. Cosmochemistry of the rare earth elements: Meteorite studies”, in “Rare earth elements geochemistry. P. Henderson (Elsevier, Amesterdam), 63-114.
- Dehghan G., Makris T., 1984. The gravity field and crustal structure of Iran. *Geological Survey of Iran, Report* 51, 51-68.
- Eyuboglu, Y., 2010. Late cretaceous high- k volcanism in the eastern Pontides orogenic belt and its implications for the geodynamic evolution of NE Turkey. *International Geology Review* 52, 142- 186.
- Eyuboglu, Y., Santosh, M., Yi, K., Bektas, O., Kwon, S., 2012. Discovery of Miocene adakitic dacite from the Eastern Pontides Belt and revised geodynamic model for the late

- Cenozoic evolution of Eastern Mediterranean region. *Lithos* 146-147, 218-232.
- Ghaderi, M., Moayyed, M., Amel, N., Mojarrad, M., 2019. A new hypothesis on the petrogenesis of Saray Volcano with emphasis on formation of Sanidine megacryst, (crystallization in an isolated magma chamber). *Scientific Quaterly Journal of Geosciences*, 117: 3-16. (in Persian)
- Ghaderi, M., Amel, N., Moayyed, M., 2020. Biotite mineral chemistry, an approach to petrogenesis of Saray volcano, Northwestern of Iran. *Researches in Earth Sciences* 11 (44), 129-144. (in Persian)
- Ghalamghash, J., Schmitt, A. K., Chaharlang, R., 2019. Age and compositional evolution of Sahand volcano in the context of post-collisional magmatism in the northwestern Iran: evidence for time- transgressive magmatism away from the collisional suture", *Lithos*, 344- 345, 265- 279.
- Gill, J. B., 1997. Orogenic andesites and plate tectonics. Springer-Verlag, Berlin, 390.
- Hajalilou, B., Moayyed, M., Hosseinzadeh, M., 2009. Petrography, geochemistry and geodynamic environment of potassic alkaline rocks in Eslamy Peninsula, northwest of Iran. *Journal of Earth System Science* 118(6), 643- 657.
- Hassanzadeh, J., Stockli, D.F., Horton, B.K., Axen, G.J., Stockli, L.D., Grove, M., Schmitt, A.K., Walker, J.D., 2008. U-Pb zircon geochronology of late Neoproterozoic- Early Cambrian granitoids in Iran: Implications for paleogeography, magmatism, and exhumation history of Iranian basement. *Tectonophysics* 451, 71-96.
- Helz, R. T., 1973. Phase relations of basalts in their melting ranges at  $\text{PH}_2\text{O} = 5 \text{ kb}$  as a function of Oxygen fugacity, part I, Mafic phases. *Journal of petrology* 14, 249-302.
- Jang Jou, F., Alizadeh, A., 2015. Pop- up structure in Eslamieh Peninsula, North western of Iran. The Second National Conference on Applied Research in Chemistry, Biology and Geology, Tehran. <https://civilica.com/doc/452480>. (in Persian)
- Juteau T., and Maury R., 1997. *Geologie de la croute oceanique, petrologie et dynamique endogens*. Masson, Paris, 367.
- Keskin, M., 2003. Magma generation by slab steepening and breakoff beneath a subduction-accretion complex: an alternative model for collision- related volcanism in Eastern Anatolia, Turkey. *Geophysical Research Letters* 30, 8046.
- Khalatbari Jafari, M., Salehi Siavashani, N., Babaie, H. A., Xiao, W., Faridi, M., Ao, S., 2020. Late Cenozoic volcanism in the Almaludag region, Azerbaijan province, northwest Iran: evidence for post- collisional extension. *Journal of Geodynamics*, 141- 142.
- Kheirkhah, M., Allen, M., Emami, M., 2009. Quaternary syn- collision magmatism from the Iran- Turkey borderlands. *Journal of Volcanology and Geothermal Research*, 182, 1- 12.
- Khezerlou, A., Amel, N., Gregorie, M., Moayyed, M., Jahangiri, A., 2017. Geochemistry and mineral chemistry of pyroxenite xenoliths and host volcanic alkaline rocks from northwest of Marand (NW Iran). *Mineralogy and Petrology* 21, 865-885.
- Le Bas, M. J., 1962. The role of aluminum in igneous clinopyroxene with relation to their parent age. *American Journal of Science* 260, 267-288.
- Lechmann, A., Burg, J.P., Ulmer, P., Guillong, M., Faridi, M., 2018. Metasomatized mantle as the source of Mid-Miocene-Quaternary volcanism in NW-Iranian Azerbaijan: Geochronological and geochemical evidence. *Lithos* 304-307, 311- 328.
- Leterrier, J., Maury, R. C., Thonon, P., Girard, D., and Marchal, M., 1982. Clinopyroxene composition as a method of identification of the magmatic affinities of Paleo- volcanic series. *Earth and Planetary Science Letters* 59, 139- 154.
- McDonough, W. F., Sun, S., Ringwood, A. F., Jagoutz, E., Hofmann, A. W., 1992. K, Rb and Cs in the Earth and Moon and the Evolution of the Earth's Mantle. *Geochimica et Cosmochimica Acta* 56, 1001-1012.

- McKenzie, D.A.N. and O'nions, R.K., 1991. Partial melt distributions from inversion of rare earth element concentrations. *Journal of Petrology* 32, 1021-1091.
- Moayyed M., Moazzen, M., Calagari, A.A., Jahangiri, A., 2008. Geochemistry and petrogenesis of lamprophyric dykes and the associated rocks from Eslamy Peninsula, NW Iran: implication for deep- mantle metasomatism. *Chemie der Erde* 68, 141- 154.
- Moein Vaziri, H., 1999. Petrography and geochemistry of ultramafic young xenolite basalt of Iran, examples of the Peninsula Saray Bijar- Qorveh area, Damavand and Hasanali Rhine castle. The Second Conference Geological Survey of Iran, Tehran, Report 78, 23. (in Persian)
- Moradian- Shahrabaky, A., 2007. Geological setting and geochronology of some alkali and calc-alkalic rocks in Western (Saray Peninsula) and central Urumieh- dokhtar volcanic belt, Iran. *Earth and Life* 2(3): 6-24.
- Morimoto, N., Fabrise, J., Ferguson, A., Ginzburg, I.V., Ross, M., Seifert, F.A., Zussman, J., Aoki, K. and Gottardi, G., 1988. Nomenclature of pyroxene", *Mineralogical Magazine* 52, 535- 555.
- Nabavi, M.H., 1977. The geological history of Iran. Geological Survey and Mineral Exploration of Iran. Tehran University Press, Tehran, 109. (in Persian)
- Pearce, J.A., 1996. Sources and settings of granitic rockS. *Episodes* 19, 120-125.
- Pearson, D. G., Canil, D., Shirey, S. B., 2003. Mantle samples included in volcanic rocks: Xenoliths and diamonds, in: The Mantle and Core. ed. Carlson, R. W., Treatise on Geochemistry 2, 171-275.
- Qi, Y., Wyman, D.A., Wang, Q., Jiang, Z.Q., 2018. Cenozoic mantle composition evolution of southern Tibet indicated by Paleocene (~ 64 Ma) pseudoleucite phonolitic rocks in central Lhasa Terrane. *Lithos* 302, 178-188.
- Riou, R., Dupuy, C., Dostal, J., 1981. Geochemistry of coexisting alkaline and calc- alkaline volcanic rocks from northern Azerbaijan (N.W. Iran). *Journal of Volcanology and Geothermal Research* 2-4, 253–275.
- Roger, N. W., 1992. Potassic magmatism as a key to trace element enrichment processes in the upper mantle. *Journal Volcanology and Geothermal Research* 50, 85-99.
- Rollinson, H.R., 1993. Using geochemical data: evaluation, presentation, interpretation. Cambridge University Press, 346.
- Sarjoughian, F., Kananian, A., Haschke, M., Ahmadian, J., 2016. Transition from I-type to A-type magmatism in the Sanandaj-Sirjan Zone, NW Iran: an extensional intra-continental arc. *Geological Journal* 51, 387- 404.
- Schweitzer, E. L., Papike, J. J. and Bence, A. E., 1979. Statical analysis of clinopyroxene from deep sea basalts. *American Mineralogists* 64, 501-513.
- Soessoo, A., 1997. A multivariate statistical analysis of clinopyroxene composition: Empirical coordinates for the crystallization P-T- Estimations. *Geologiska Föreningen i Stockholm Förhandlingar* 119, 55-60.
- Stern, R.J., Shafaii Moghadam, H., Pirouz, M., Mooney, W., 2021. The geodynamic evolution of Iran. *Annual Review of Earth and Planetary Sciences* 49, 9-36.
- Taghizadeh-Farahmand, F., Afsari, N., Sodoudi, F., 2015. Crustal thickness of Iran inferred from converted waves. *Pure and Applied Geophysics* 172, 309-331.
- Wilson, M., 1989. Igneous Petrogenesis. A Global Tectonic Approach. Unwin Hyman, London, 466.
- Yilmaz, Y., Tüysüz, O., Yiğitbaş, E., Genç, Ş. C., Şengör, A.M.C., 1997. Geology and tectonic evolution of the Pontides. *Regional and Petroleum Geology of the Black Sea and surrounding Region* 68, 183- 226.